

# Твердотельная электроника

Презентации к лекционному курсу

Полевые транзисторы

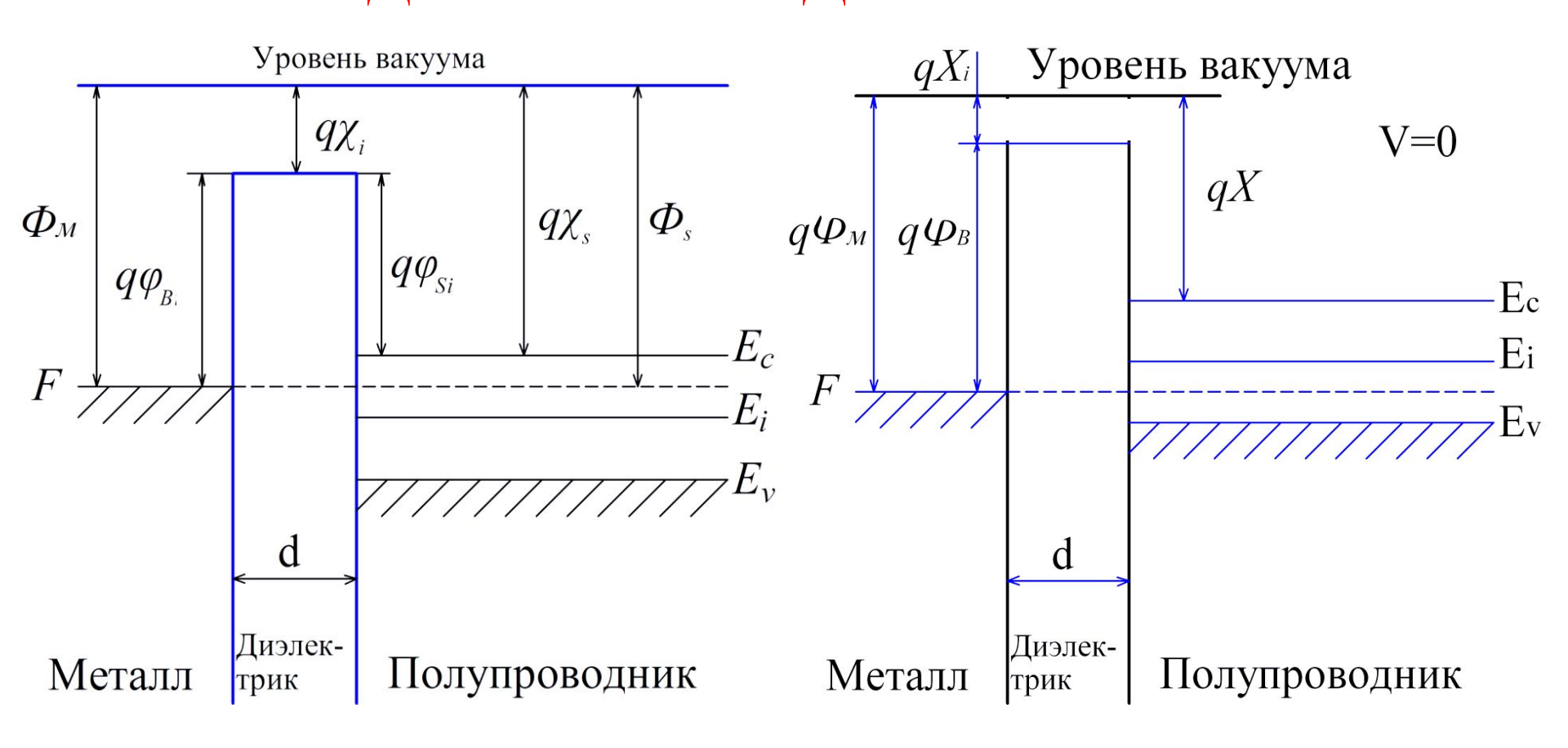
# МДП-СТРУКТУРЫ

#### Идеальная МДП-структура

Если на окисел, покрывающий поверхность кристалла, нанести металлический электрод (*затвор*), то, изменяя его потенциал относительно объема кристалла, возможно изменять величину заряда в приповерхностной области п/п-ка и, соответственно, её проводимость.

Этот эффект положен в основу ряда п/п-ковых устройств, среди которых самое известное — МДП-транзистор.

#### ИДЕАЛЬНАЯ МДП-СТРУКТУРА



На границе металл-диэлектрик (изолятор), диэлектрикполупроводник возникает контактная разность потенциалов:

$$q\varphi_{\mathbf{B}} = \Phi_{M} - \Phi_{i};$$

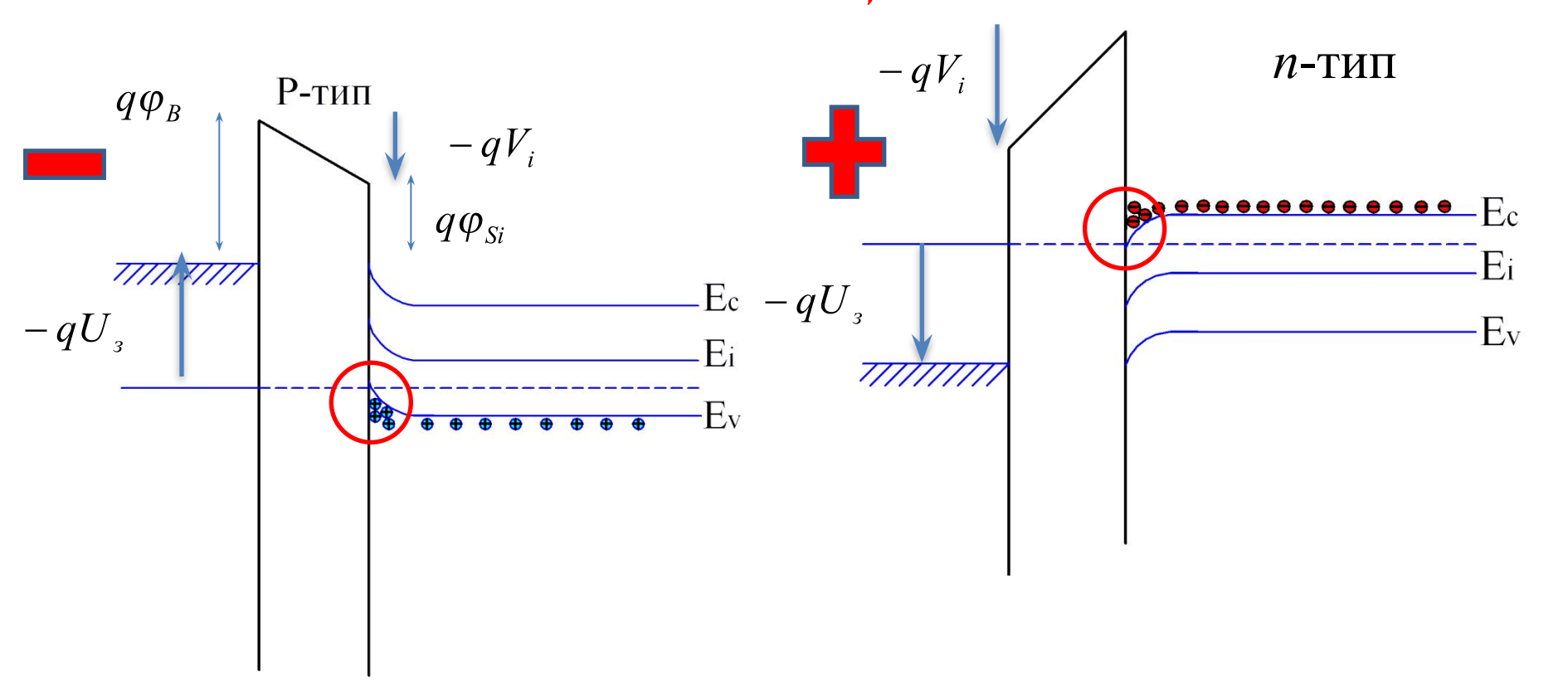
#### Допущения для «идеальной» МДП-структуры

- Диэлектрик является идеальным изолятором.
- В диэлектрике и на границах раздела металл-диэлектрик и п/п-к-диэлектрик нет никаких зарядов, т.е. диэлектрик не имеет дефектов.

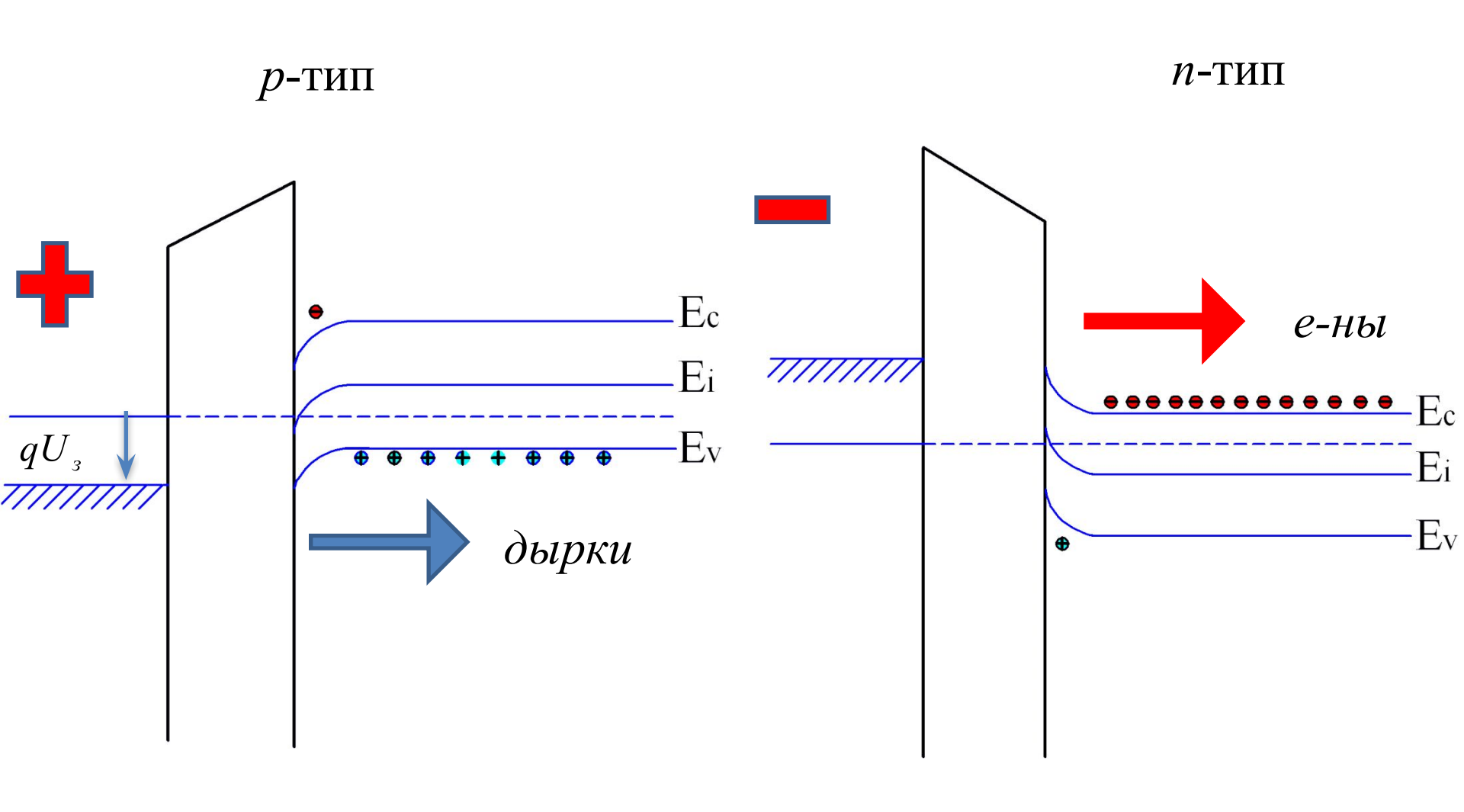
При любых смещениях в структуре могут существовать только заряд в ее п/п-ковой части и равный ему заряд противоположного знака на металлическом электроде, отделенном от п/п-ка слоем диэлектрика.

Если к МДП-структуре приложить эл. напряжение, то его обкладки зарядятся. В зависимости от знака и величины приложенного напряжения поверхность п/п-ка, будет обогащаться или обедняться ОНЗ, или произойдет инверсия типа проводимости

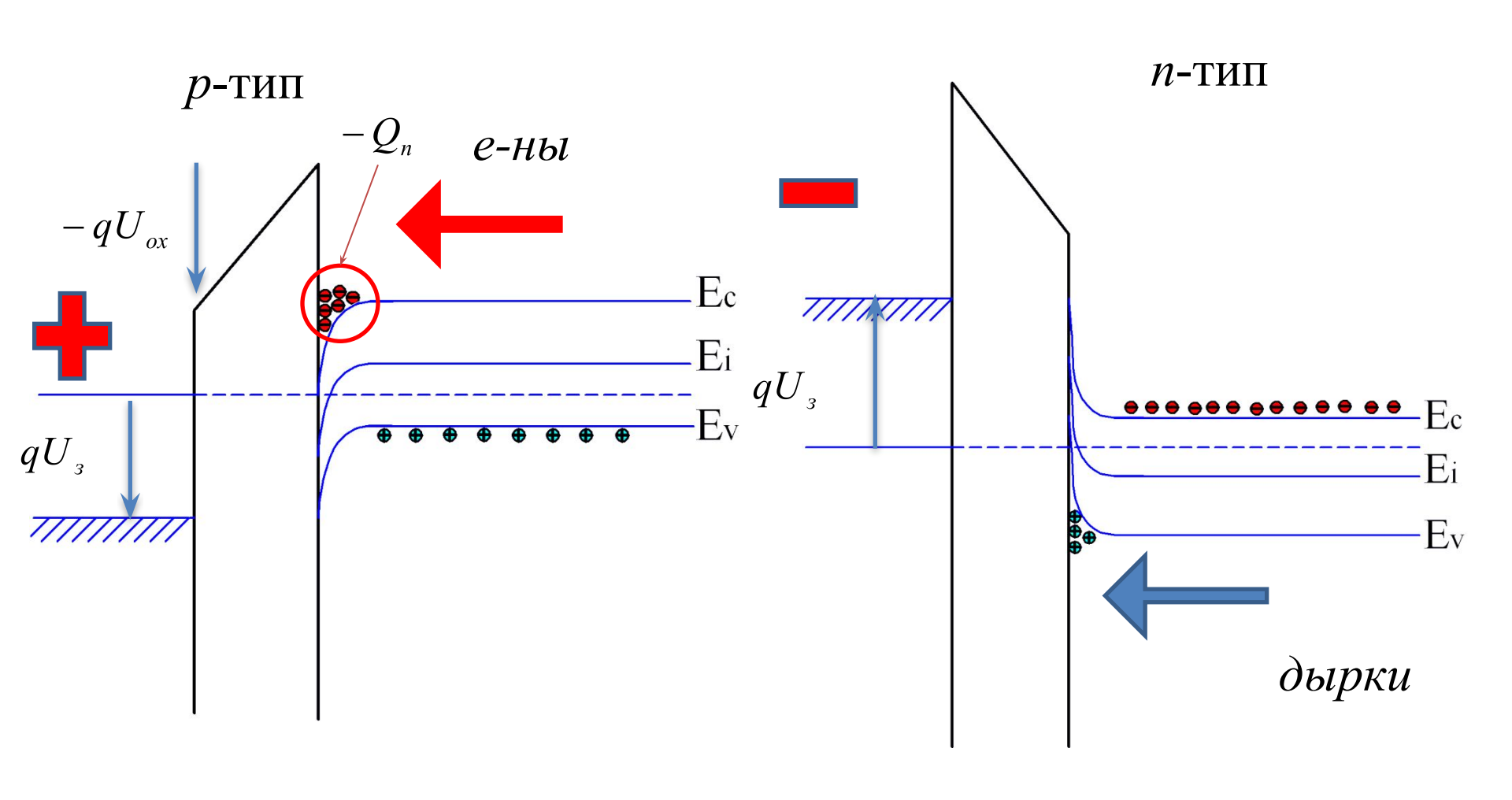
#### Режим обогащения



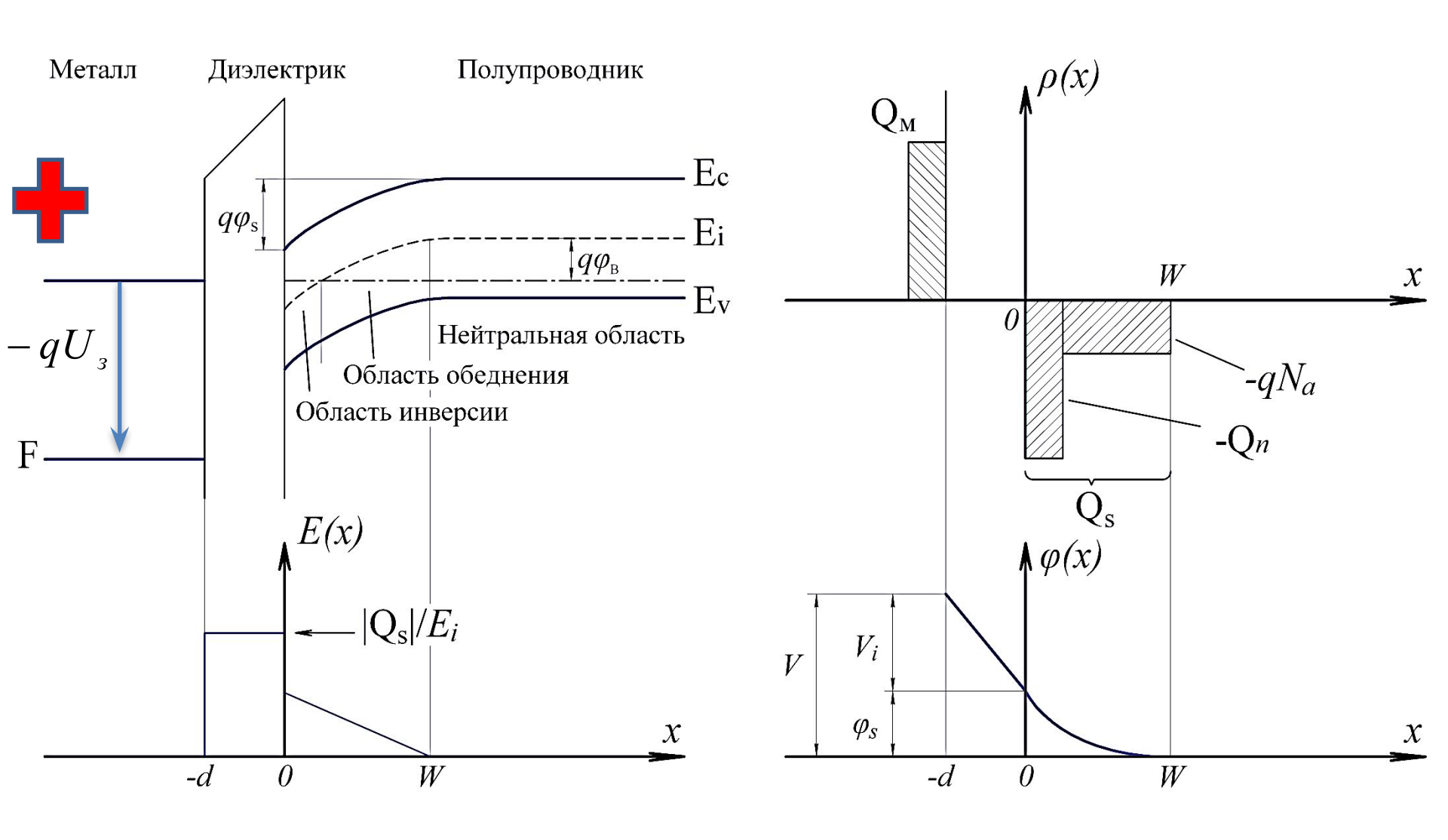
#### Режим обеднения



#### Инверсия типа проводимости



#### МДП-структура, инверсия типа проводимости



Для характеристики изгиба зон будем использовать понятие поверхностного потенциала  $\varphi_s$ . Рассмотрим п/п-к p-типа.

$$\frac{\partial^2 \varphi(x)}{\partial x^2} = -\frac{\partial \mathbf{E}(x)}{\partial x} = -\frac{\mathbf{\rho}(x)}{\varepsilon_s \varepsilon_0} = \frac{q \cdot N_a^-}{\varepsilon_0 \varepsilon_s}$$

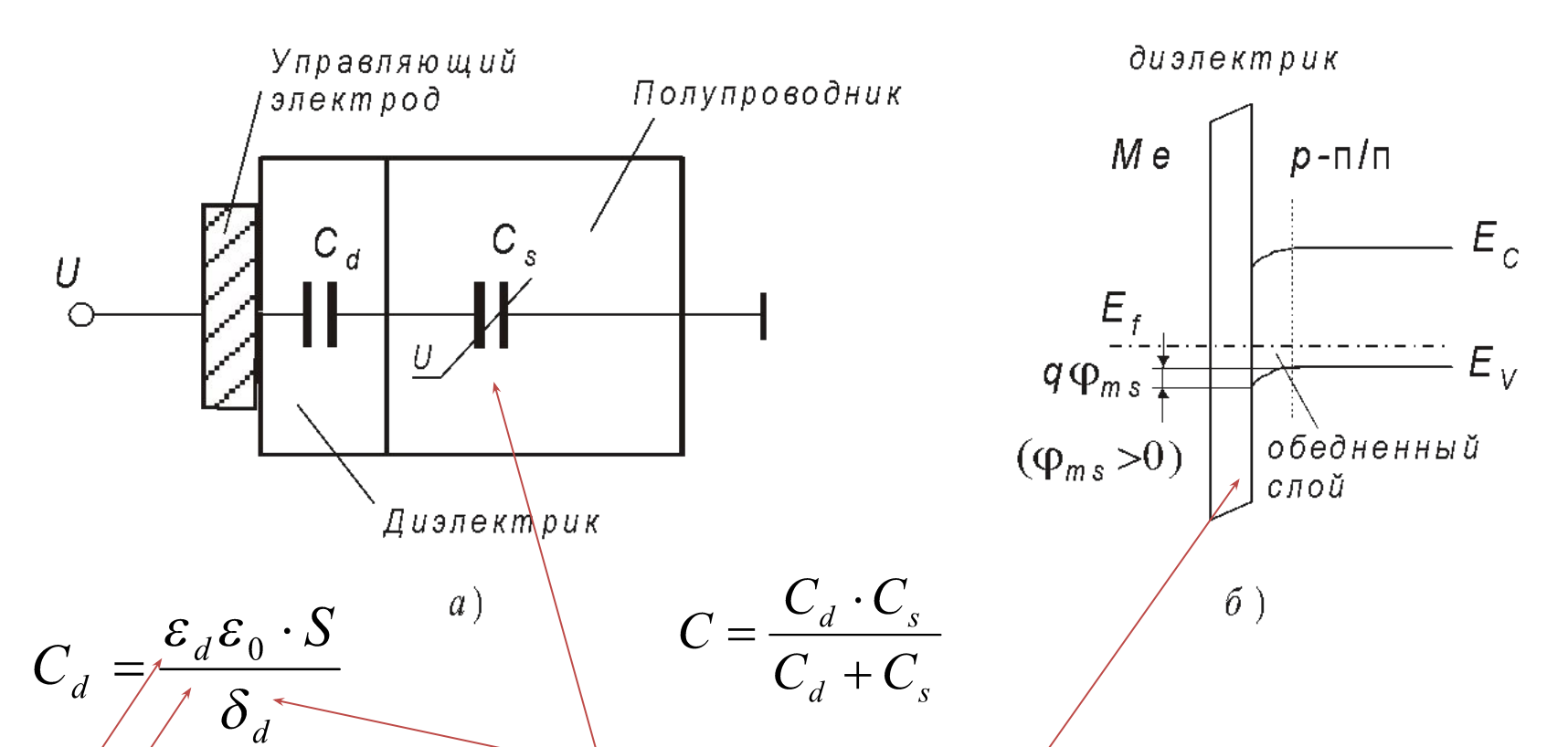
$$\varphi = 0;$$
  $\frac{d\varphi}{dx} = 0$  при  $x = w$ 

$$\varphi = \frac{q \cdot N_a^-}{2\varepsilon_s \cdot \varepsilon_0} (x - w)^2 \qquad \varphi_s = \frac{q \cdot N_a^- \cdot w^2}{2\varepsilon_s \cdot \varepsilon_0}$$

$$w = \sqrt{\frac{2 \cdot \varepsilon_0 \cdot \varepsilon_s \cdot \varphi_s}{q \cdot N_a^-}}$$

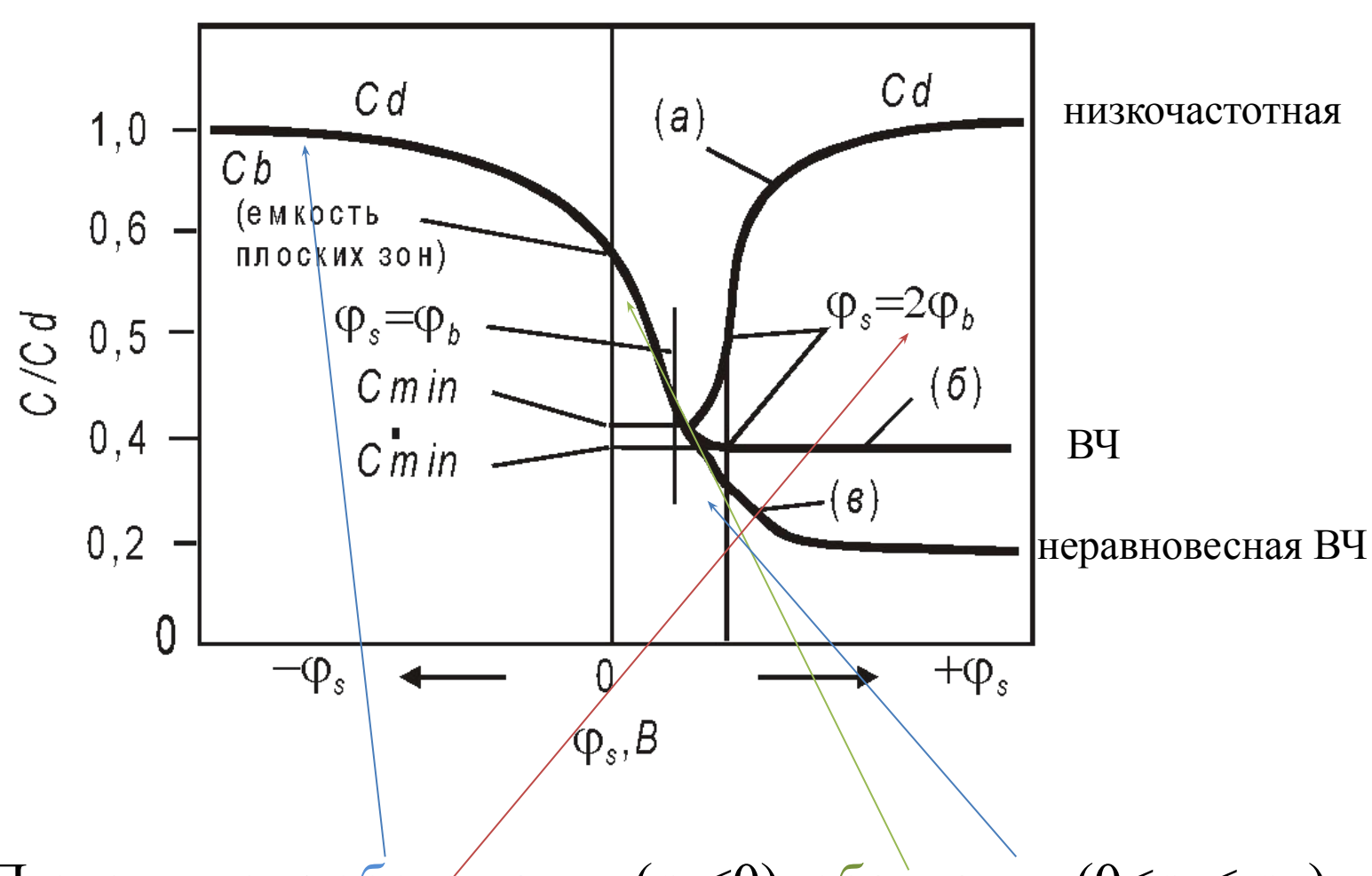
 $\varphi_{S0} = 2\varphi_B = 2\varphi_T \ln \left(N_a^-/n_i^-\right)$  — условие инверсии типа проводимости

#### Емкость реальной МДП-структуры



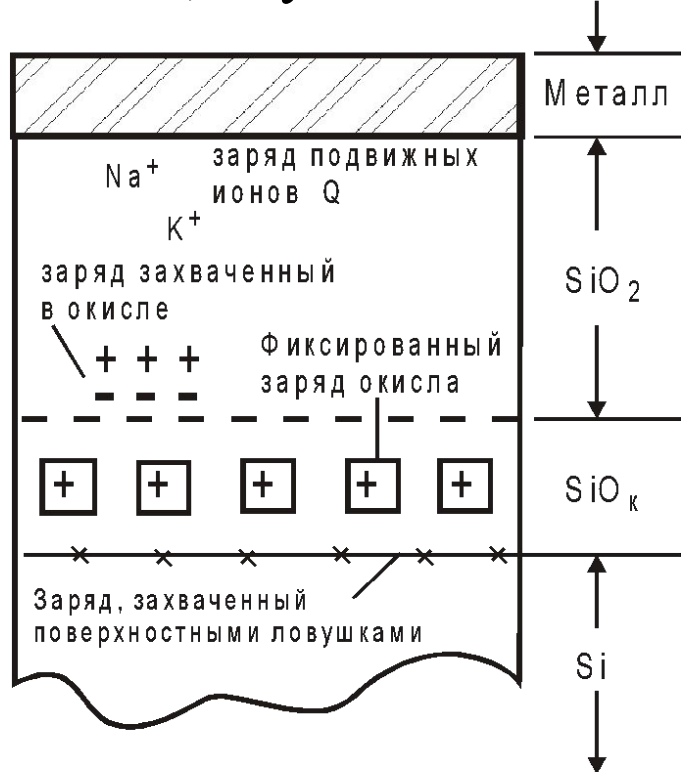
где  $\varepsilon_d$  — диэлектрическая проницаемость материала диэлектрика; S — площадь управляющего электрода;  $\delta_d$  — толщина диэлектрика. Емкость полупроводника  $C_s$  является нелинейным элементом, т.к. определяется как конструктивными параметрами, так и напряжением смещения U.

## С-V-характеристики идеальной МДПструктуры



Режимы МДП-структуры: обогащения ( $\phi_s$ <0), обеднения (0< $\phi_s$ <  $\phi_B$ ), слабой ( $\phi_R$ <  $\phi_S$ <2  $\phi_B$ ) и сильной ( $\phi_S$ >2  $\phi_B$ ) инверсий.

Из всех МДП-структур наиболее важными являются структуры металл  $-\mathrm{SiO}_2$ -Si (МОП). Отличие характеристик реальных МОП-структур от соответствующих зависимостей идеальных МДП-конденсаторов обусловлено существованием сложного распределения зарядов в окисле и возникновение поверхностного заряда в кремнии, обусловленного поверхностными ловушками



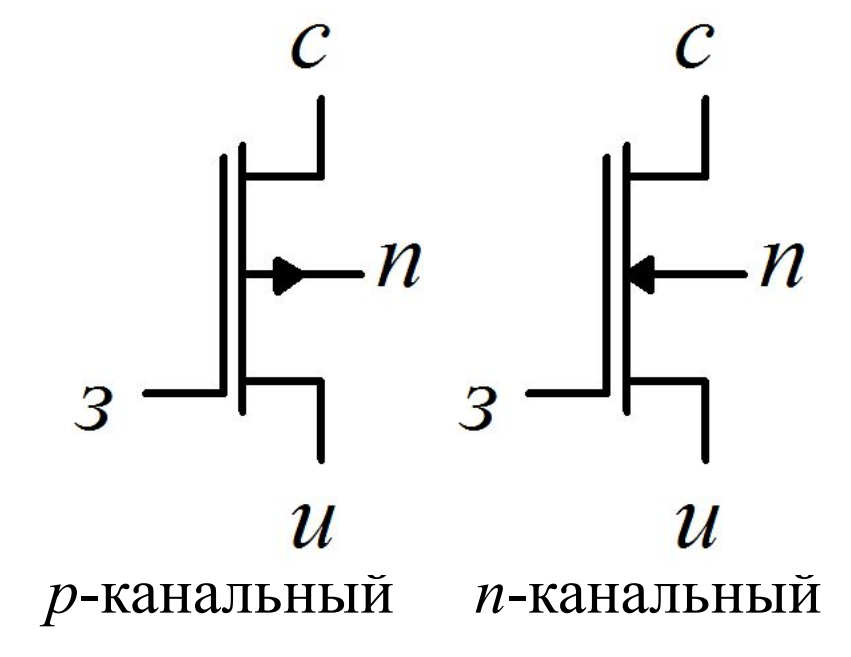
#### МДП-транзистор

 $MД\Pi$ -транзистор называют также транзистором с изолированным затвором, так как в отличие от ПТУП затвор от п/п-ка изолирован окислом.

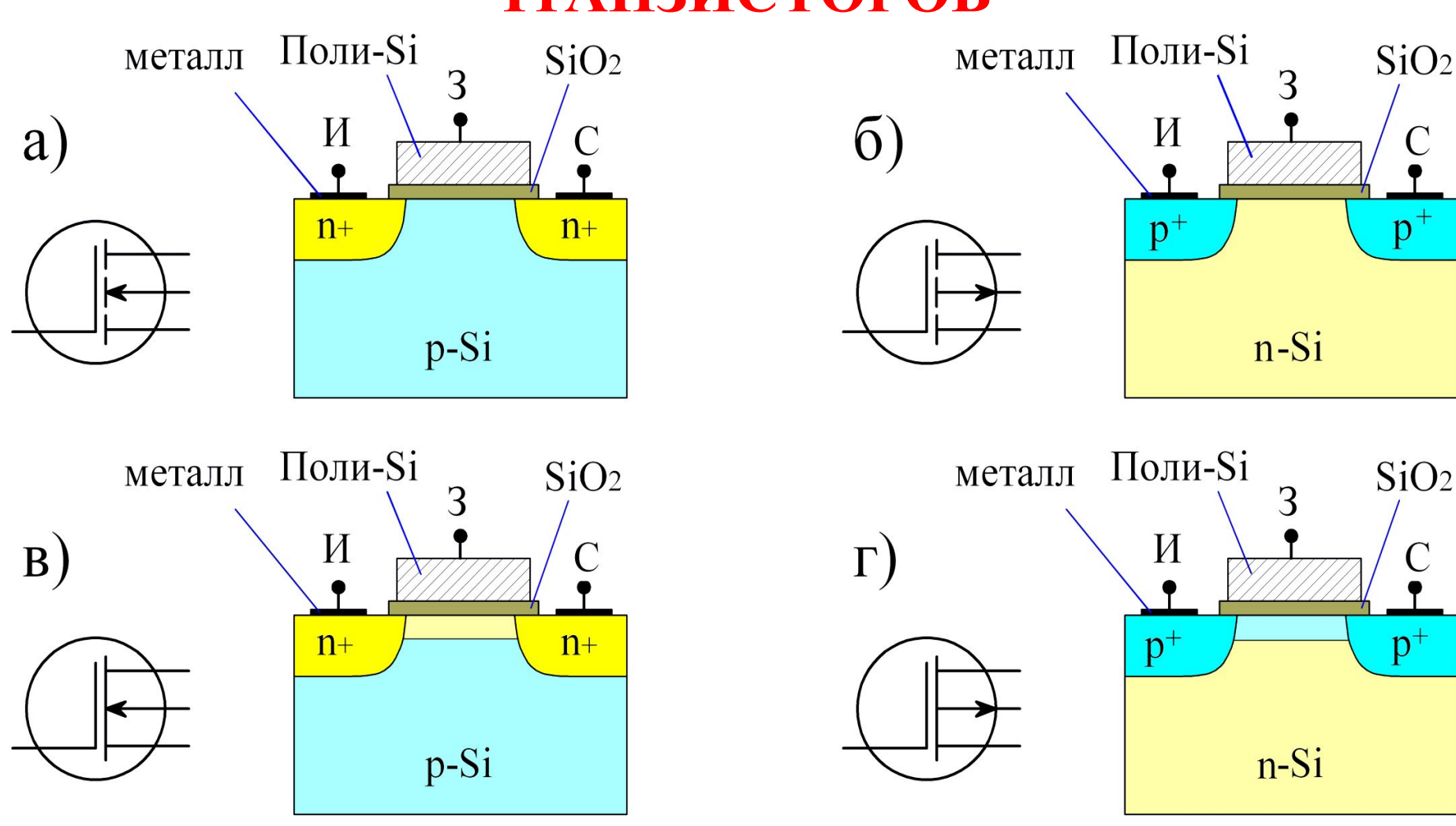
#### Условные обозначения МДП-транзисторов

С индуцированным каналом

 Со встроенным каналом



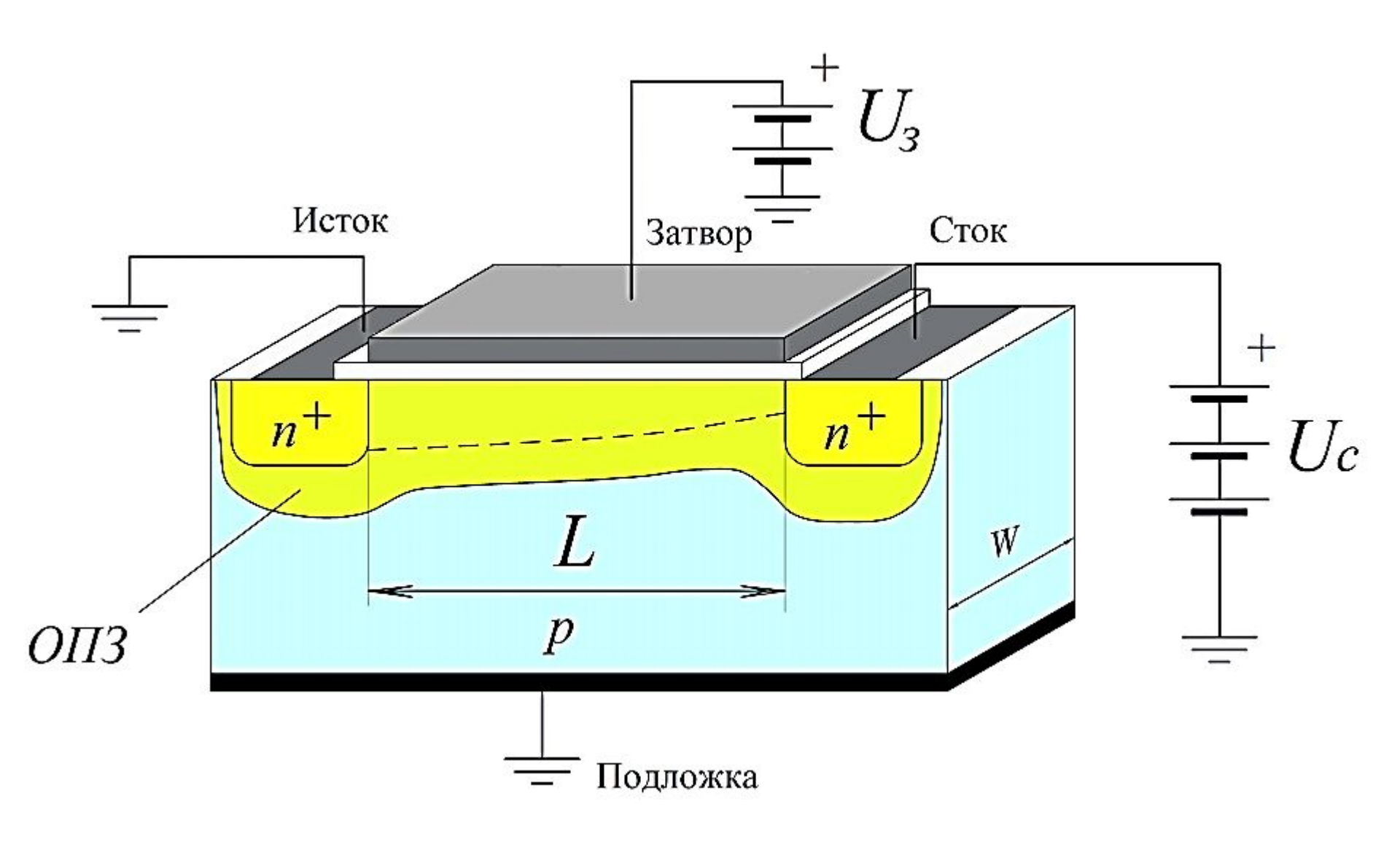
#### СТРУКТУРЫ И ОБОЗНАЧЕНИЯ МДП-ТРАНЗИСТОРОВ



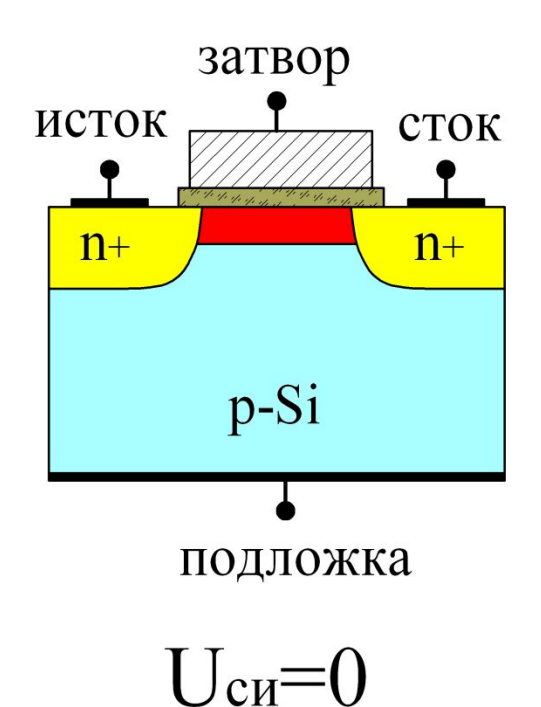
а, б – с индуцированным каналом

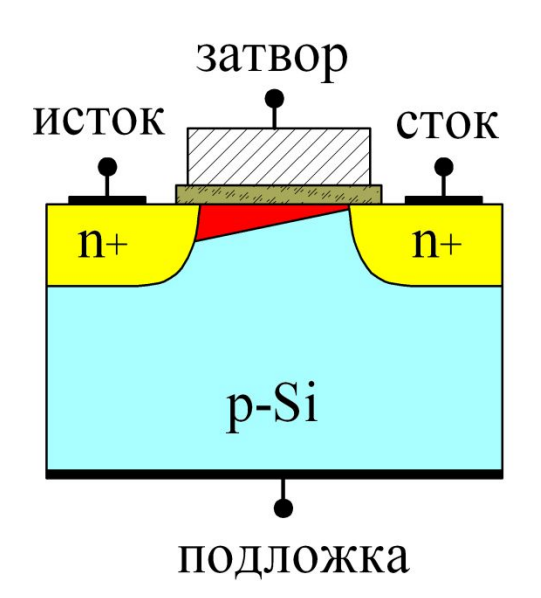
в,  $\Gamma$  — со встроенным каналом

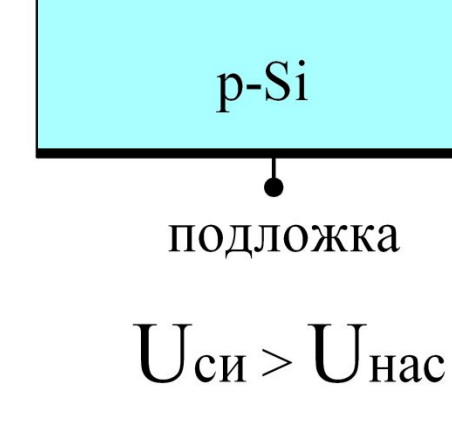
# $MД\Pi$ -транзистор с индуцированным n-каналом



#### ЗАКРЫТИЕ КАНАЛА







$$U_{cu} > 0$$
  $U_{3u} > U_{пор}$ 

#### Сделаем следующие основные допущения:

- одномерное приближение, т.е. концентрации НЗ и потенциалы по сечению канала постоянны;
- на поверхности выполняется условие сильной инверсии  $(U_{3\it U}{>}U_{3\it nop});$
- заряд на поверхностных состояниях постоянен и не зависит от изгиба зон;
- дрейфовые токи значительно больше диффузионных токов и последними можно пренебречь;
- подвижность H3 в канале  $\mu_s$  постоянна.

### РАСЧЕТ ХАРАКТЕРИСТИК МДП-ТРАНЗИСТОРА

Плотность тока в канале:  $j_c = \sigma_c \cdot E(x)$ 

где 
$$\sigma_c = q \cdot \mu_s \cdot n_{uho} = \mu_s \cdot Q_{uho}$$

$$Q_{\textit{инд}} = C_{\textit{3}} \cdot \left[ U_{\textit{3}} - U_{\textit{nop}} - U(x) \right]$$

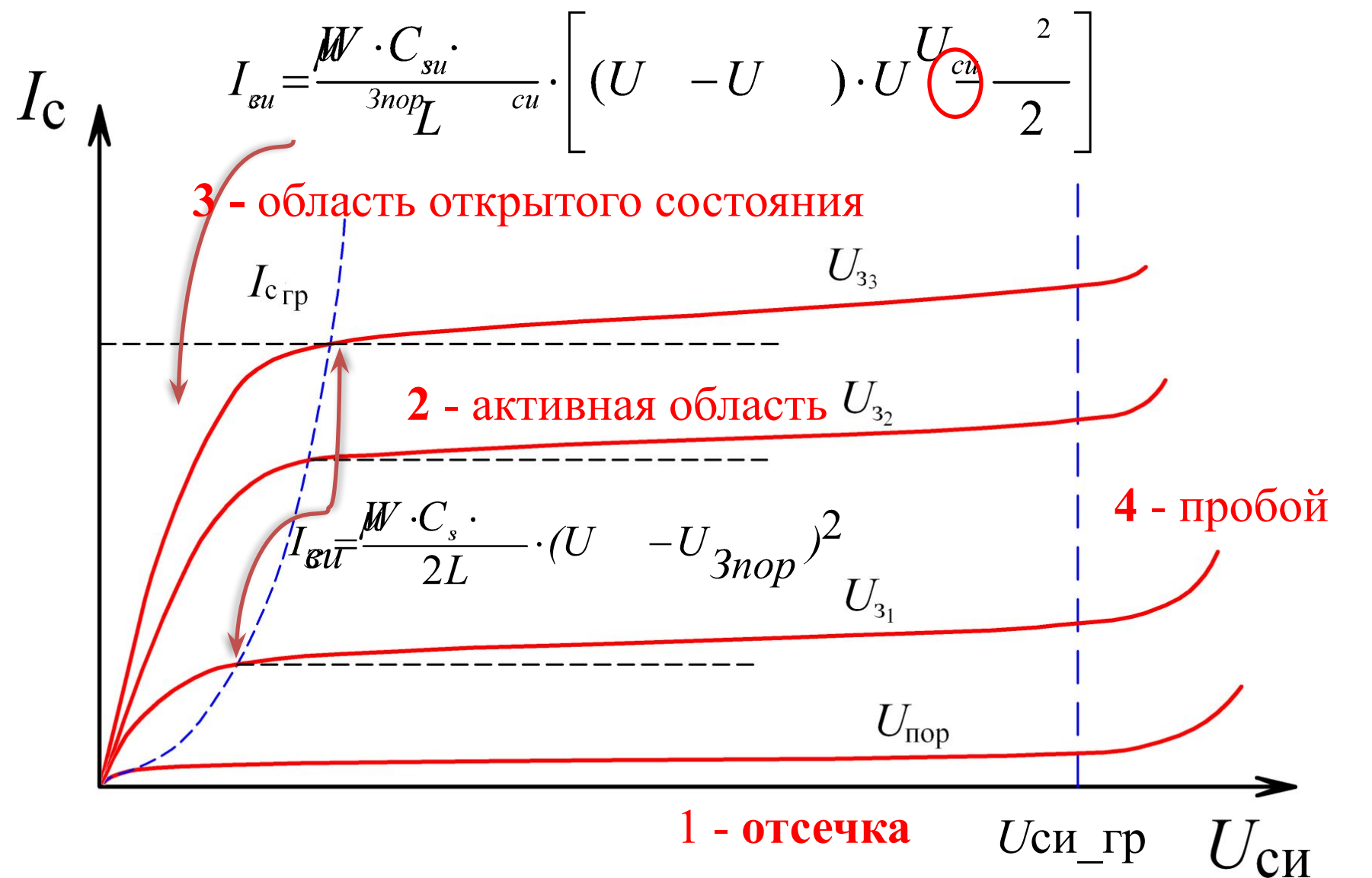
$$\sigma_{\textit{c}} = \mu_{\textit{s}} \cdot C_{\textit{3}} \cdot \left[ U_{\textit{3}} - U_{\textit{nop}} - U(x) \right]$$

Ток стока в линейной области: 
$$I_c = \frac{W \cdot \mu_s \cdot C_s}{L} \cdot \left[ (U_s - U_{nop}) \cdot U_c - \frac{U_c^2}{2} \right]$$

Ток стока в пологой области: 
$$I_c = \frac{W \cdot \mu_s \cdot C_s}{2L} \cdot (U_3 - U_{nop})^2$$

Крутизна: 
$$\delta = \frac{dI_c}{dU_s} = \frac{W \cdot \mu_n \cdot C_d}{L} \cdot (U_s - U_{nop})$$

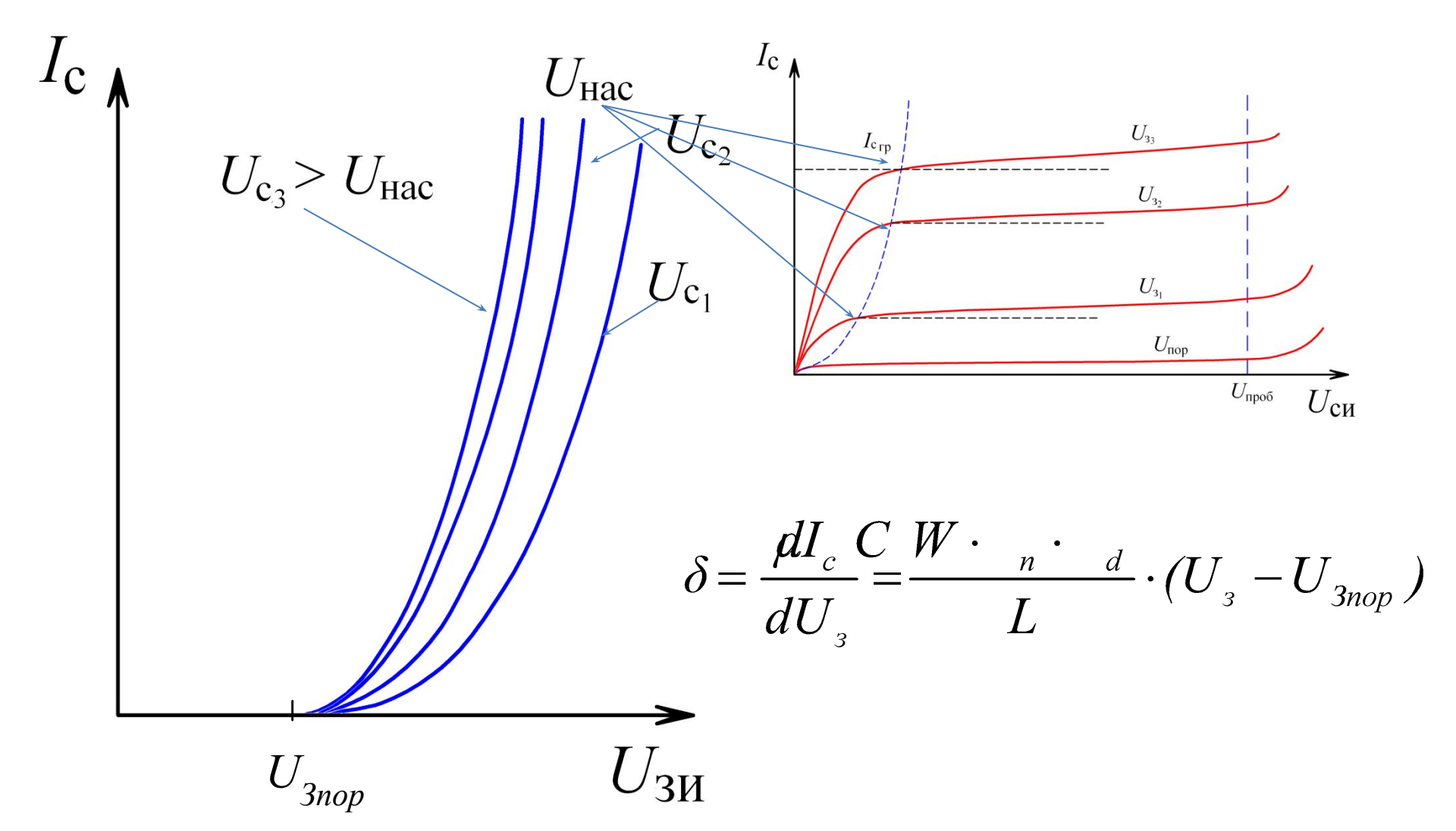
# ВЫХОДНАЯ ВАХ МДП-ТРАНЗИСТОРА С ИНДУЦИРОВАННЫМ КАНАЛОМ



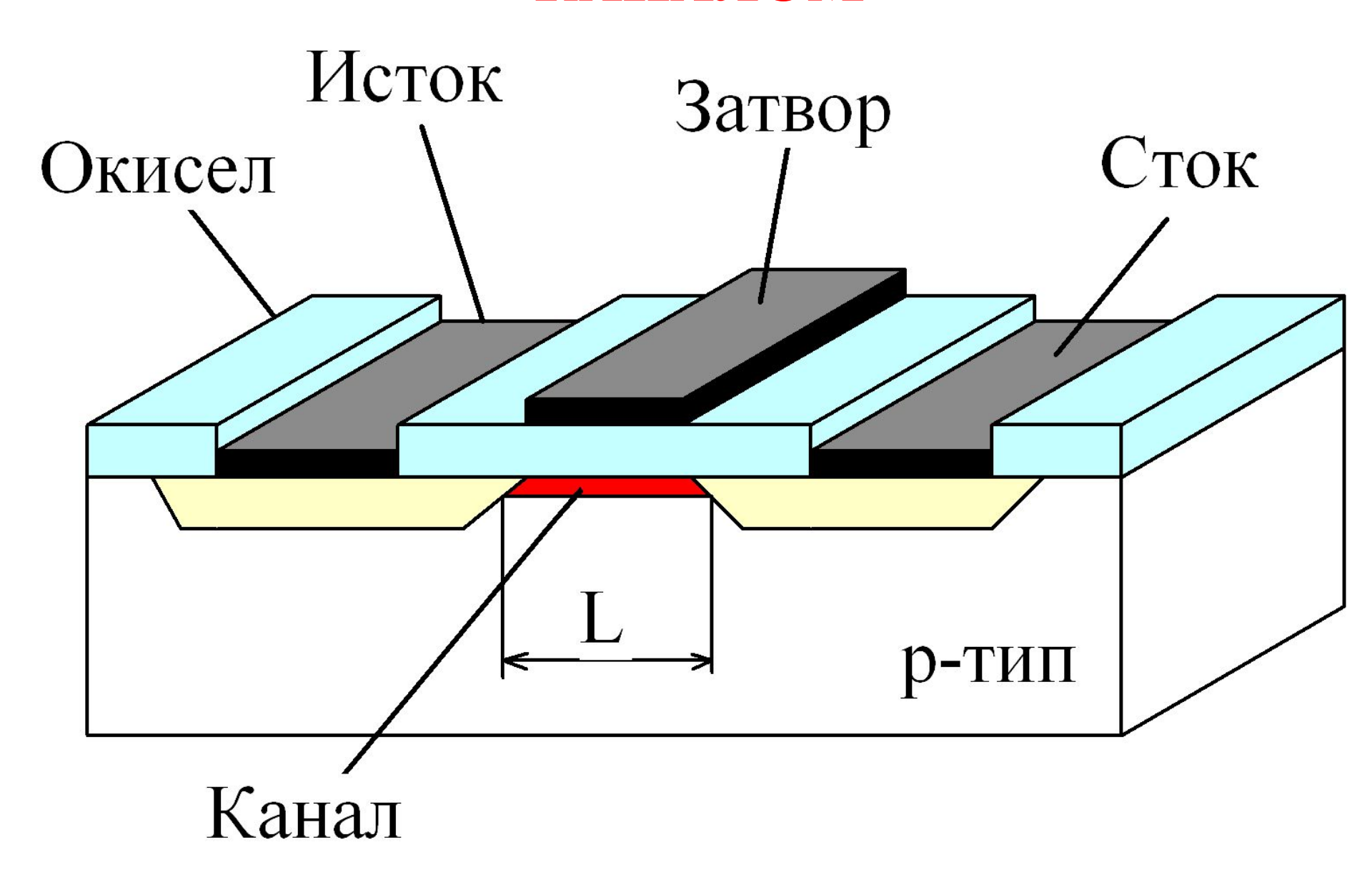
# три основные рабочие области на выходной характеристике МДП-транзистора

- 1 область отсечки выходного тока: *транзистор заперт*  $(U_{3U} < U_{3nop})$ , в цепи протекает малый обратный ток, обусловленный утечкой и обратным током стокового pn-перехода. МДП-транзистор, как и БТ, работает в ключевом режиме.
- 2 активная область (пологая часть выходных ВАХ  $U_{3U}>U_{3nop}$ ,  $U_{CU}<U_{CU}$ гр) область, где ток  $I_{\mathcal{C}}$  остается практически неизменным с ростом напряжений  $U_{CU}$ . МДП-транзистор работает в усилительном режиме.
- 3 область открытого состояния (крутая часть BAX): ток  $I_C$  в этой области задается внешней цепью.
- С увеличением напряжения на затворе, граница, разделяющая крутую и пологую области, сдвигается в область больших напряжений сток-исток.
- В обл. 4 наступают предпробойные явления, сопровождающиеся резким увеличением тока  $I_{\mathcal{C}}$ . Обл. пробоя определяет выбор предельно допустимых напряжений  $U_{\mathcal{C}\mathcal{U}}$  гр

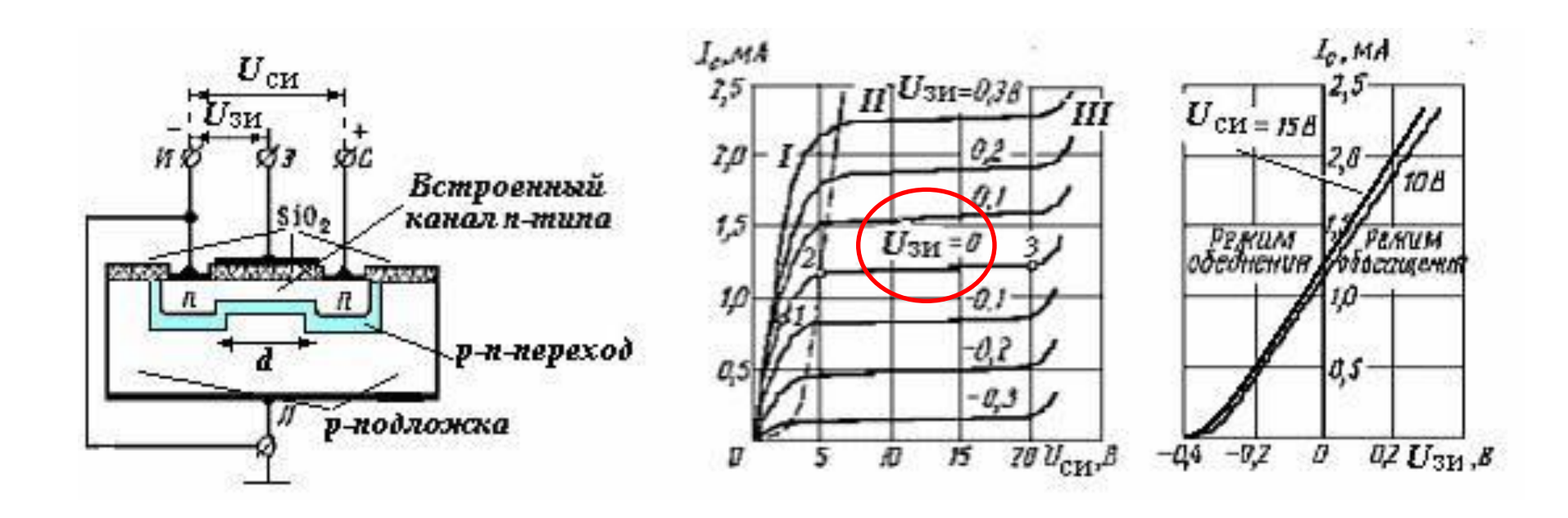
# ПЕРЕДАТОЧНАЯ X-КА МДП-ТРАНЗИСТОРА С ИНДУЦИРОВАННЫМ КАНАЛОМ



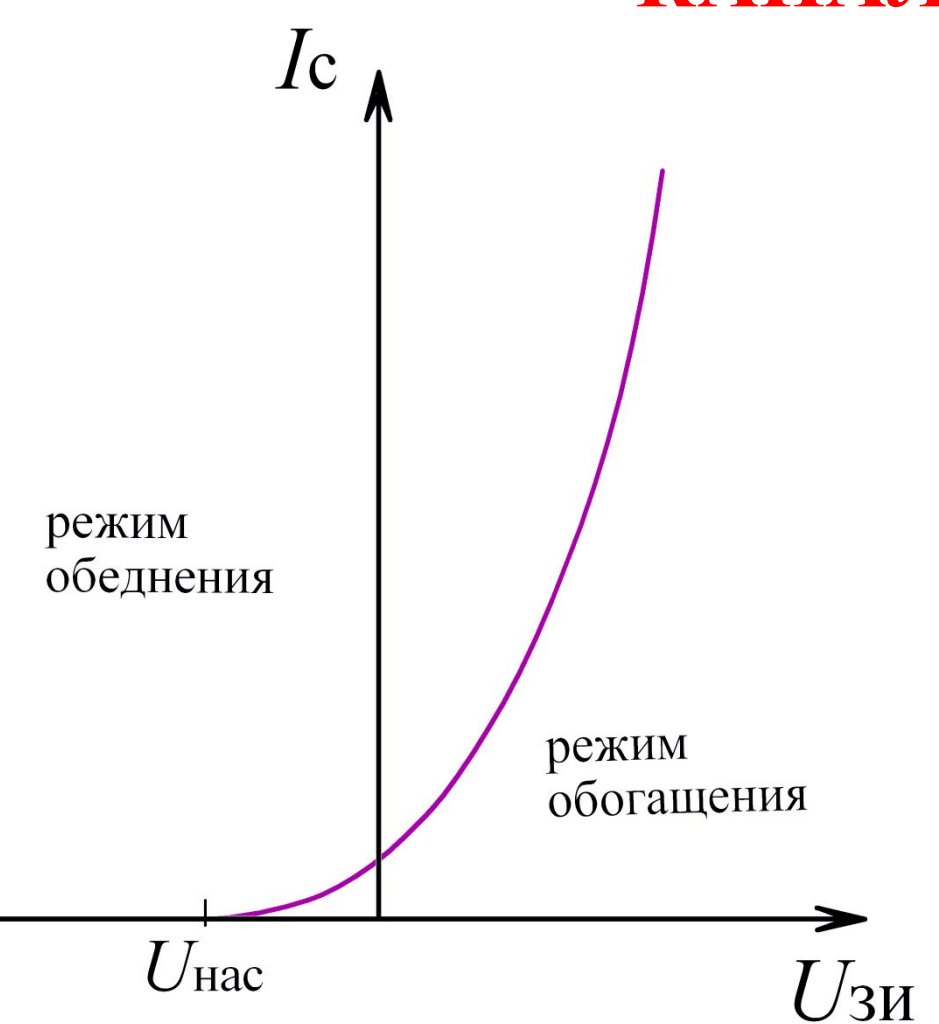
## МДП-ТРАНЗИСТОР СО ВСТРОЕННЫМ КАНАЛОМ



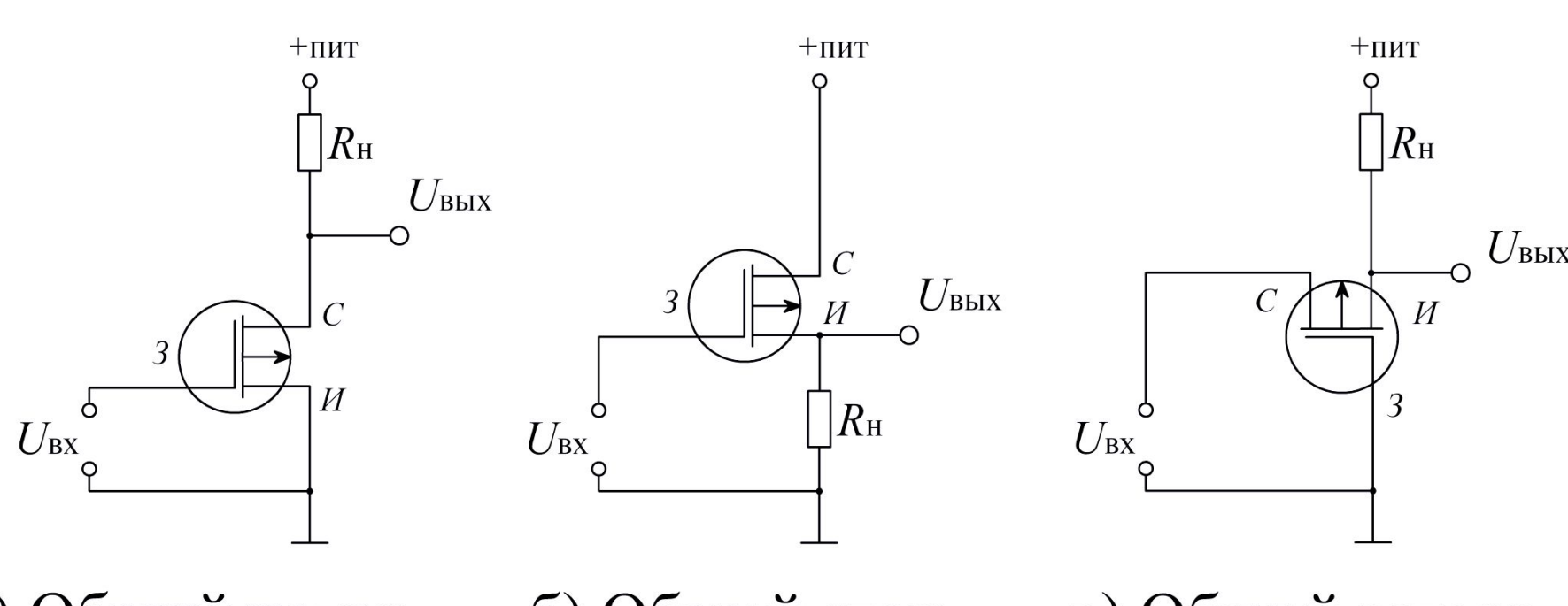
## МДП-ТРАНЗИСТОР СО ВСТРОЕННЫМ КАНАЛОМ



## ПЕРЕДАТОЧНАЯ X-КА МДП-ТРАНЗИСТОРА СО ВСТРОЕННЫМ КАНАЛОМ



### ВАРИАНТЫ ВКЛЮЧЕНИЯ ПОЛЕВОГО ТРАНЗИСТОРА



а) Общий исток

б) Общий сток

в) Общий затвор

#### Преимущества МДП-транзисторов по сравнению с БТ

- Высокое  $r_{ex}$ , которое определяется только сопротивлением утечки диэлектрика и достигает  $10^{12} 10^{15}$  Ом по постоянному току.
- Низкий уровень шумов, что объясняется малым вкладом рекомбинационных процессов, ток как в переносе тока в ПТ в отличие от БТ участвуют только ОНЗ.
- Относительная простота изготовления.

## СИЛОВЫЕ ПРИБОРЫ

#### История развития, вклад российских ученых

До 70-х годов XX века в качестве силовых п/п-ковых приборов, помимо <u>тиристора</u>, использовались ET. Их эффективность была ограничена несколькими недостатками:

- •необходимость большого  $I_{E}$  для включения;
- •наличие токового «хвоста» при запирании, поскольку  $I_K$  не спадает мгновенно после снятия тока управления— появляется сопротивление в цепи коллектора, и транзистор нагревается;
- •зависимость параметров от температуры;
- •напряжения насыщения цепи К-Э ограничивает минимальное рабочее напряжение.

С появлением  $\Pi T$  в 80-х годах, выполненных по технологии МОП, ситуация изменилась. В отличие от БТ,  $\Pi T$ :

управляются не током, а напряжением;

их параметры не так сильно зависят от температуры;

имеют низкое сопротивление канала (менее миллиома);

могут работать в широком диапазоне токов (от миллиампер до сотен ампер);

имеют высокую частоту переключения (сотни кило<u>герц</u> и больше);

высокие рабочие напряжения при больших линейных и нагрузочных изменениях, тяжёлых рабочих циклах и низких выходных мощностях.

Первые мощные ПТ были созданы в СССР в НИИ «Пульсар» (разработчик – В. В. Бачурин) в 1973 г., а их ключевые свойства исследованы в Смоленском филиале МЭИ (научный руководитель – В. П. Дьяконов).

В рамках этих работ в 1979 году были предложены составные транзисторы с управлением мощным БТ с помощью ПТ с изолированным затвором. Было показано, что выходные токи и напряжения составных структур определяются БТ, а входные — ПТ. Западные исследователи разработали подобный прибор в 1979 году, он получил название IGBT и, на сегодняшний день, это название широко распространено во всём мире.

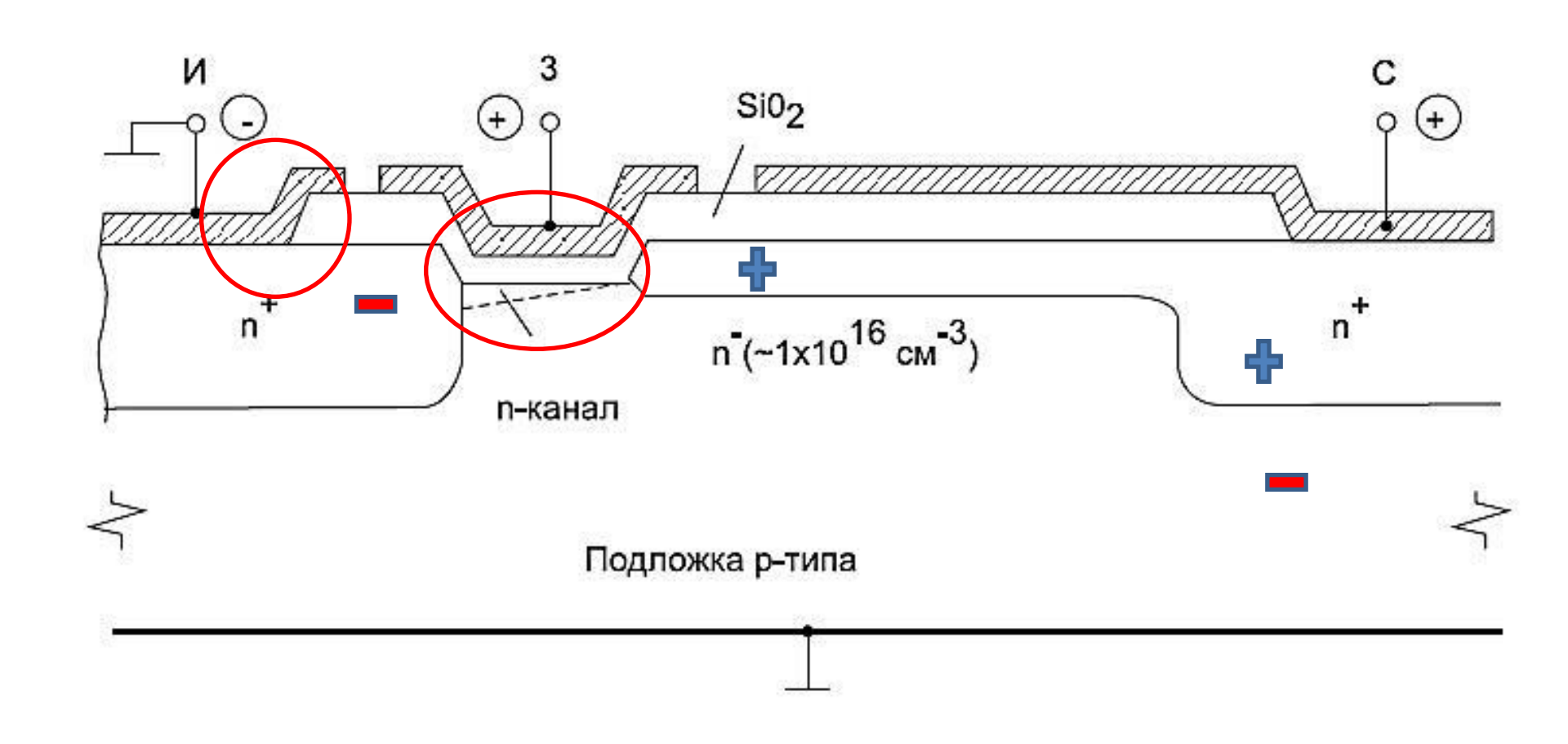
В настоящее время существует несколько базовых структур силовых МОП ПТ. В области коммутируемых токов до 50 А и напряжений до 500 В основными приборами силовой электроники являются биполярные транзисторы (ВРТ) и идущие им на смену полевые транзисторы с изолированным затвором (МОП ПТ, MOSFET-Metal-Oxid-Semiconductor-Field-Effect-Transistor).

Нишу высоковольтных силовых приборов с большими уровнями токов и напряжениями до единиц киловольт заняли биполярные транзисторы с изолированным затвором (англ. *IGBT* от англ. *Insulated-gate bipolar transistor*).

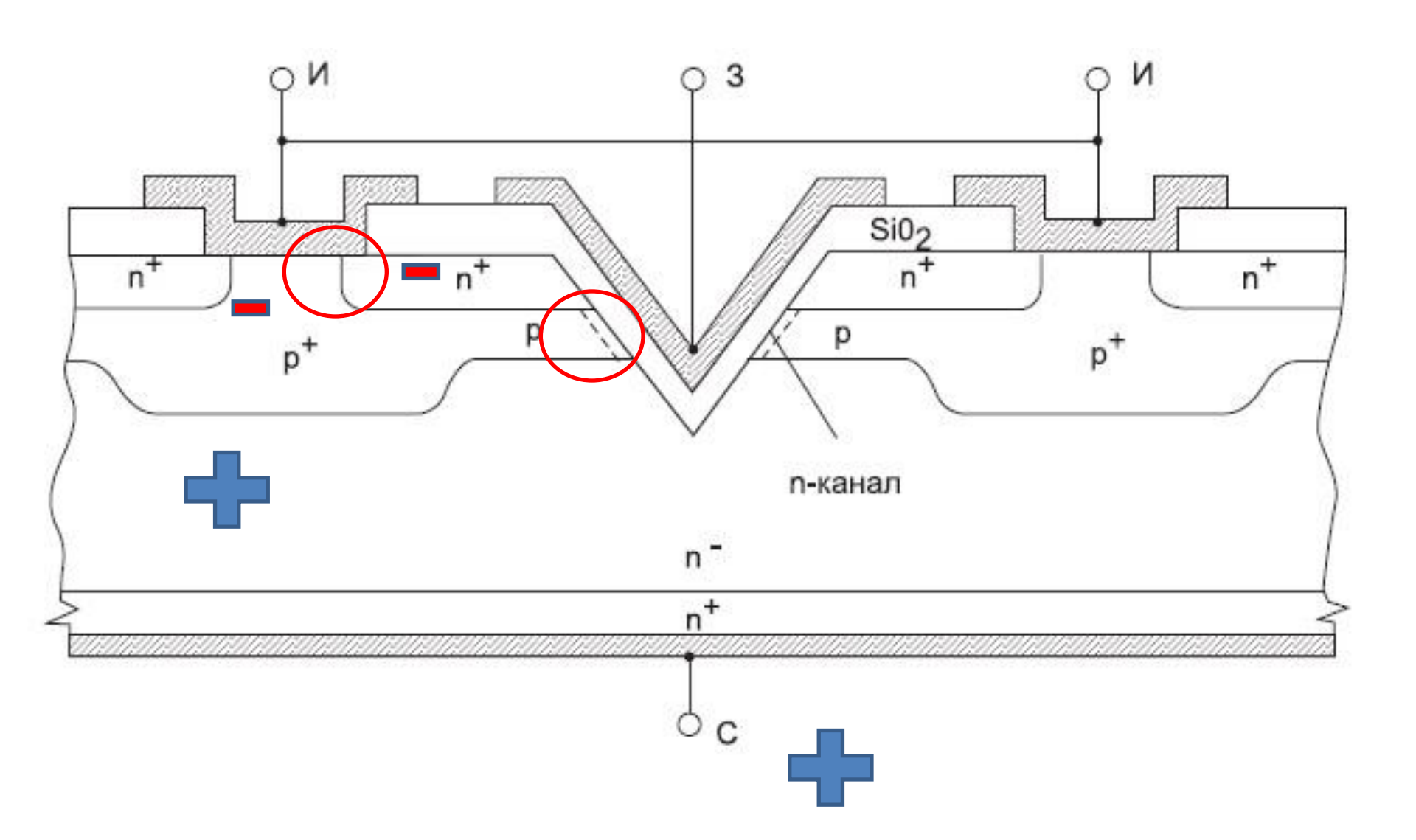
По своей внутренней структуре БТИЗ представляет собой каскадное включение двух электронных ключей: входной ключ на полевом транзисторе управляет мощным оконечным ключом на биполярном диоде (транзисторе).

- Управляющий электрод называется затвором, как у ПТ, два других электрода Э и K, как у БТ.
- Прибор введён в силовую цепь выводами БТ Е (эмиттер) и С (коллектор), а в цепь управления выводом G (затвор).
- Такое составное включение ПТ и БТ позволяет сочетать в одном устройстве достоинства обоих типов п/п-ковых приборов.
- БТИЗ сочетает достоинства двух основных видов транзисторов:
- высокое входное сопротивление, низкий уровень управляющей мощности от ПТ с изолированным затвором;
- низкое значение остаточного напряжения во включенном состоянии от БТ.

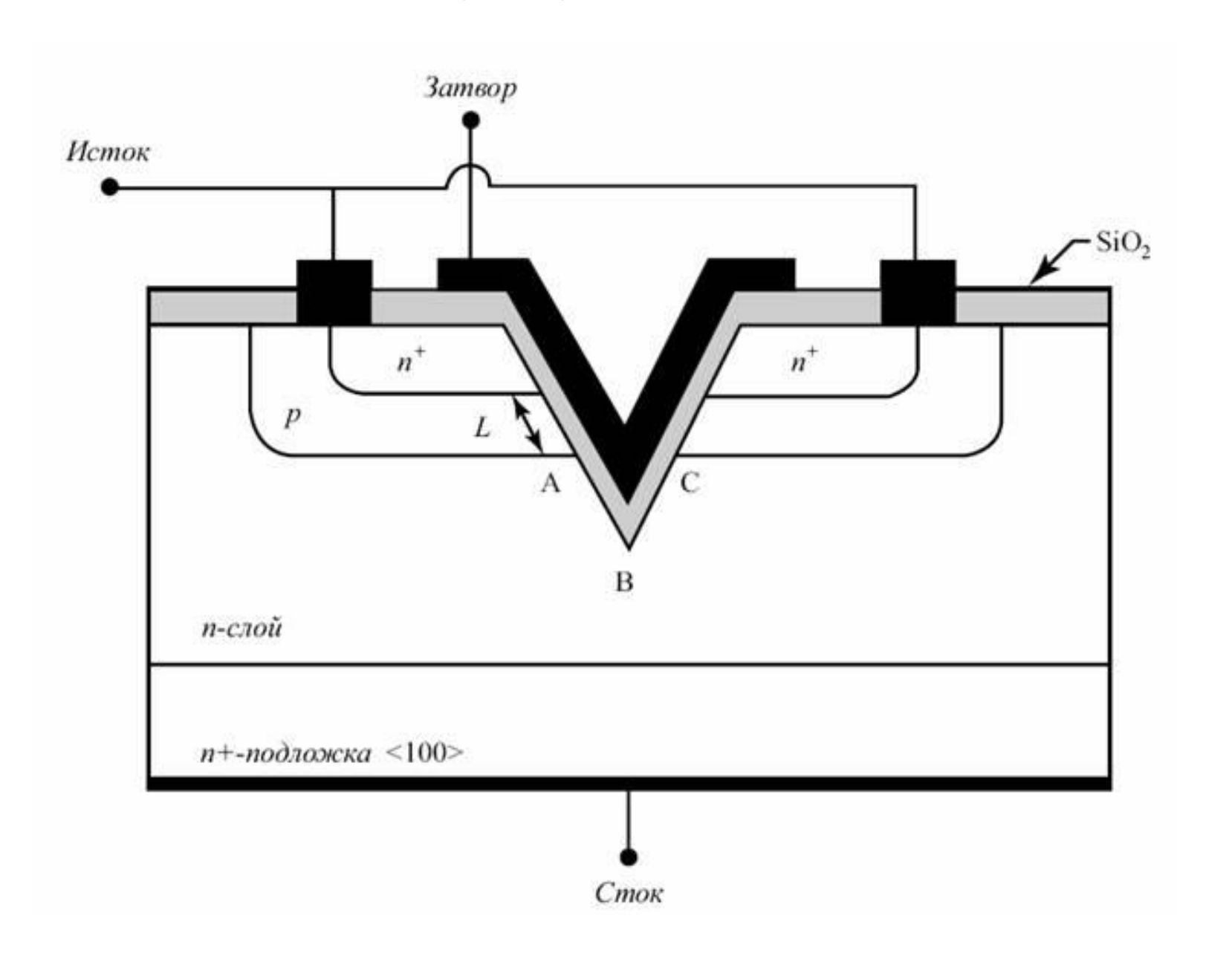
# Горизонтальная структура первых советских мощных МДП-транзисторов



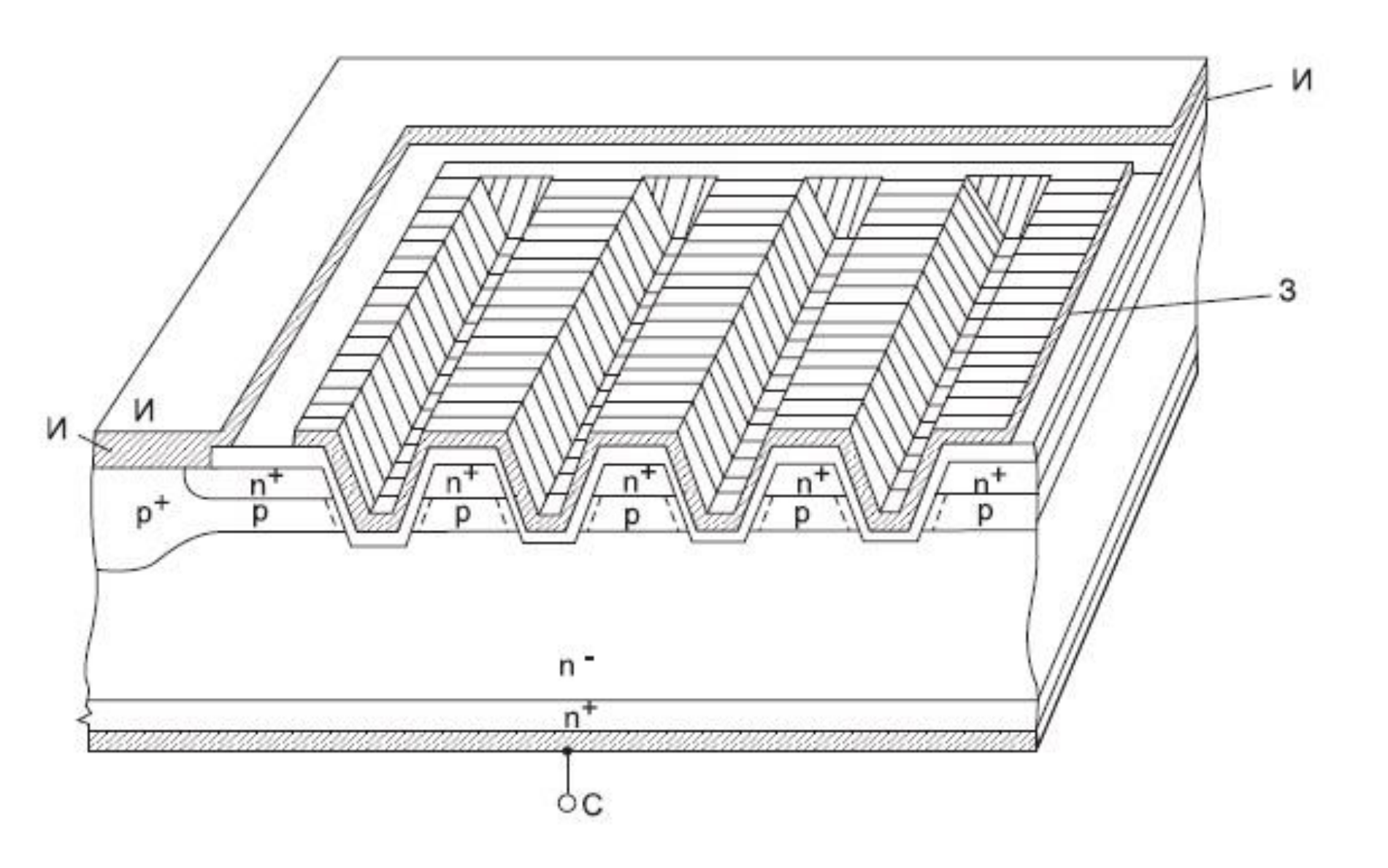
## МДП- транзистор с V-образной структурой



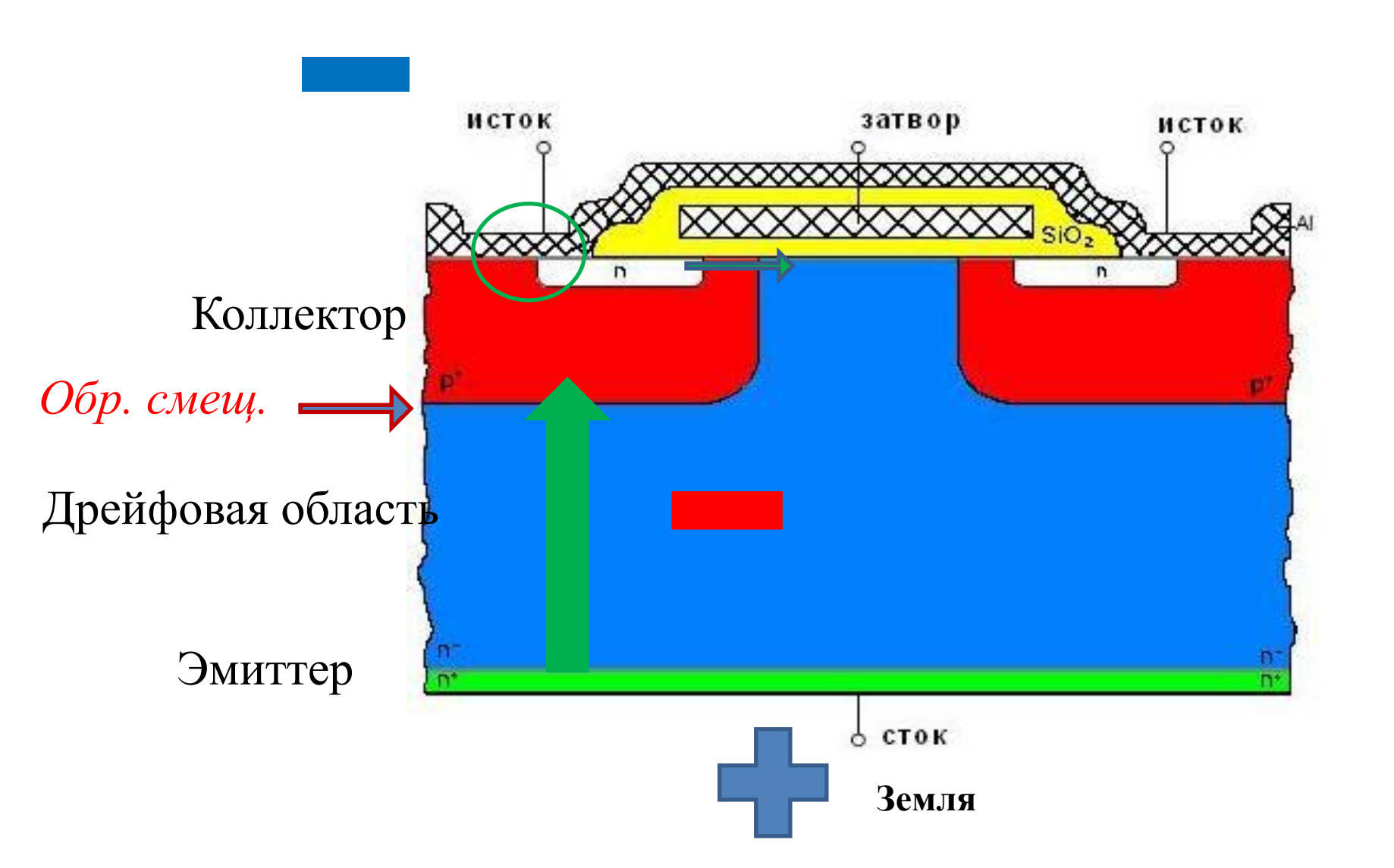
# Структура V-МОП



# МДП- транзистор с U -образной структурой



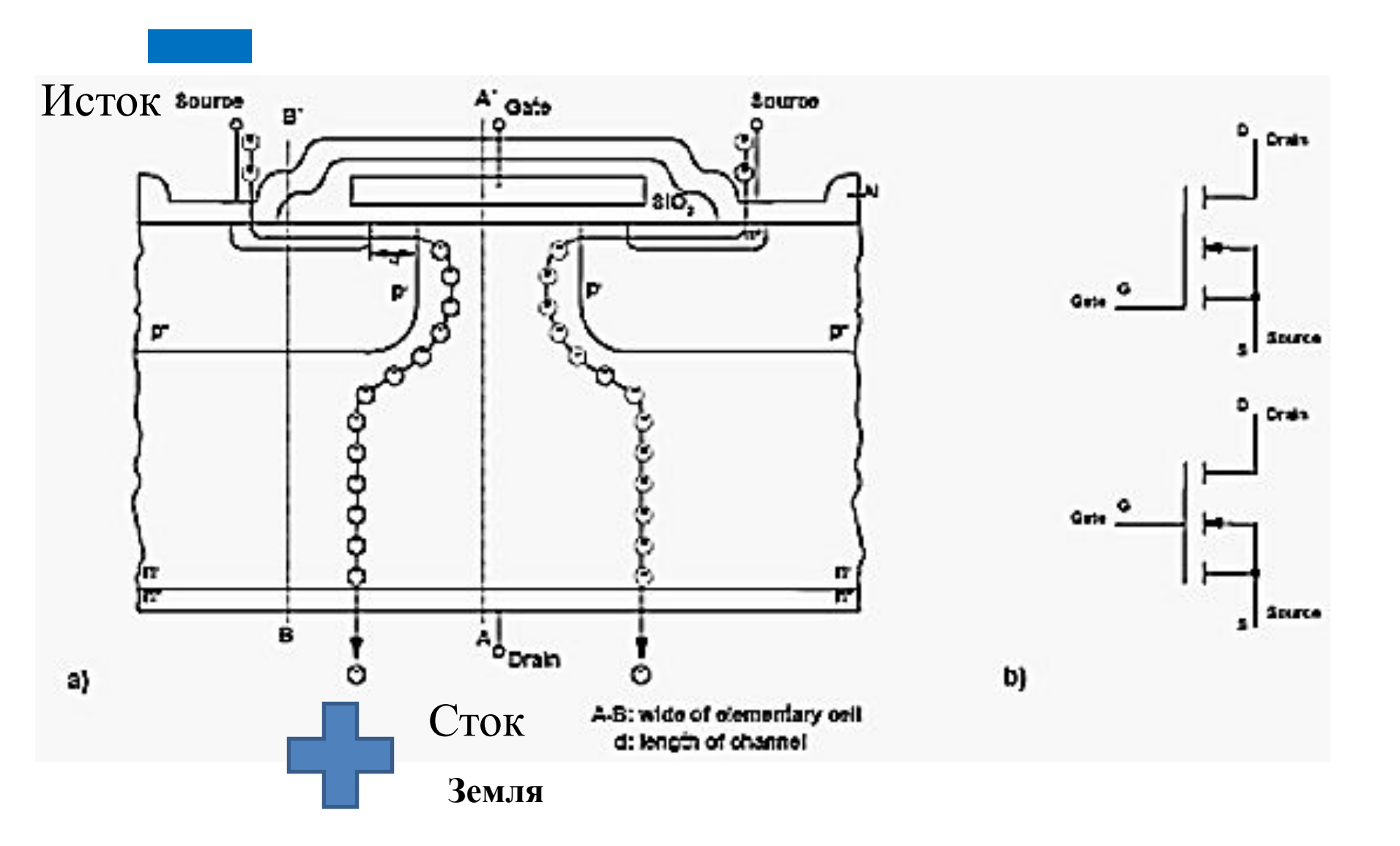
# Силовой MOSFET. Структура D-МОП



p-коллектор соединен накоротко с истоком, положительное напряжение стока смещает переход p-коллектор — n-дрейфовая область в обратном направлении. Обедненный слой расширяется главным образом в n-дрейфовую область, потому что p-коллектор имеет более высокий уровень легирования. Для обеспечения более высокого запирающего напряжения стока необходимо уменьшить легирование дрейфовой области и увеличить ее толщину, что приведет к  $\uparrow$  сопротивления протеканию тока в открытом состоянии.

Это сопротивление определяется последовательным сопротивлением канала и дрейфовой области.

# Силовой MOSFET во включенном состоянии



# Основная выходная характеристика силового



### При прямом смещении (І квадрант)

### Закрытое состояние

При  $V_{CU(пор)} > V_{CU} > 0$  между стоком и истоком будет протекать только очень малый ток  $I_{DSS}$ .  $I_{DSS}$  будет расти очень медленно с ростом  $V_{CU}$ . По достижении определенного установленного значения напряжения сток-исток  $V_{(BR)DSS}$ , происходит лавинный пробой перехода  $p^+$  ячейка/ $n^-$  дрейфовая зона/ $n^+$  эпитаксиальный слой.

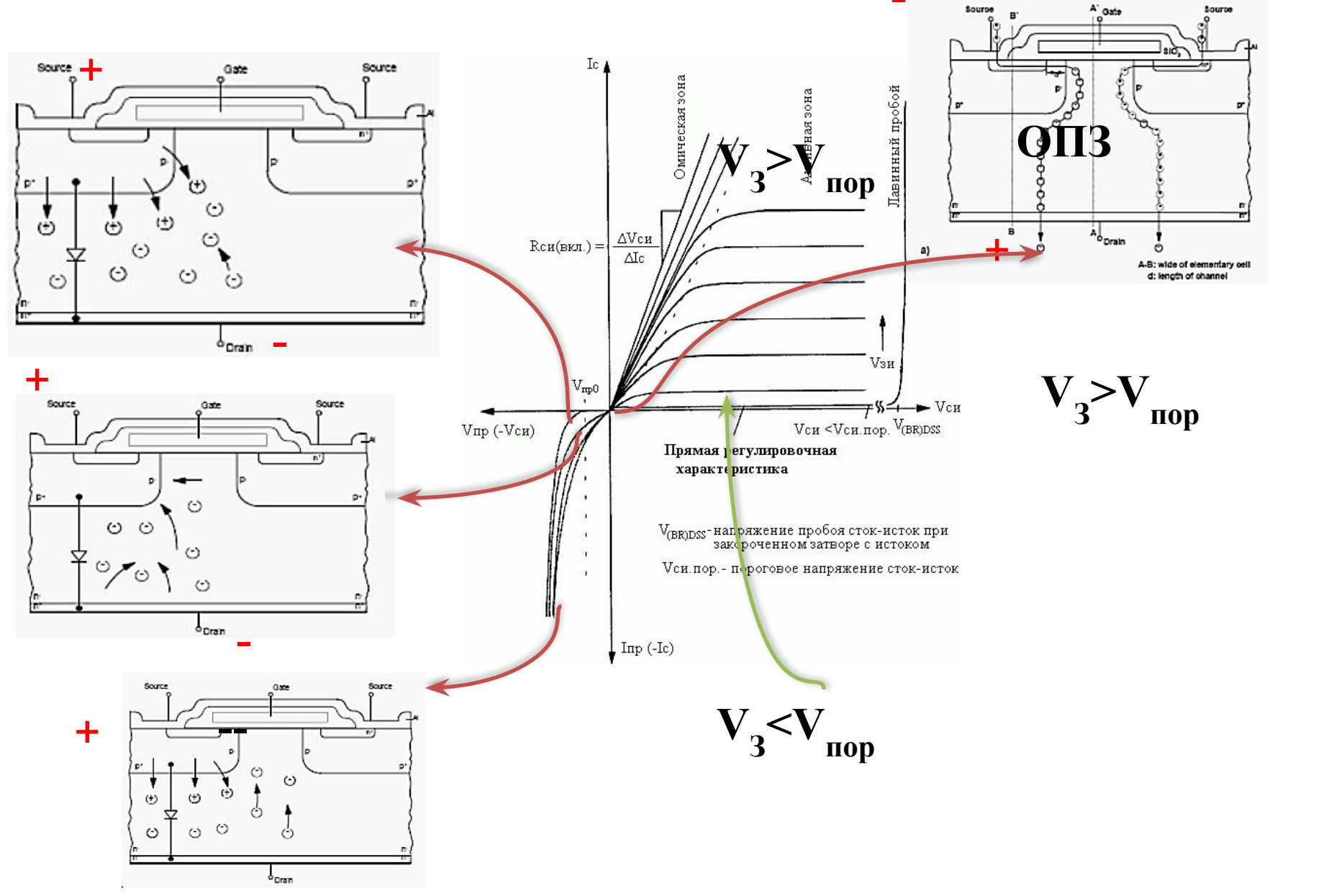
Увеличенный ток, созданный лавинным пробоем диода коллектор-база, может привести к разрушению МДП ПТ.

В рабочем режиме (затвор — Gate — открыт, на сток — Drain относительно истока — Source — подано положительное смещение) электроны текут из канала через n-область в сильнолегированную n<sup>+</sup>-область, а затем во внешнюю цепь стока.

### Включенное состояние

Прямое включенное состояние при положительном напряжении сток-исток  $V_{CU}$  и прямой ток  $I_{C}$  могут быть разделены на две характерных области (I квадрант). Величина сопротивления на начальном участке (Омическая зона) определяет предельный  $I_{C}$  в открытом состоянии силового МОП ПТ. Прямое напряжение  $V_{CU}$  может быть определено следующим уравнением:

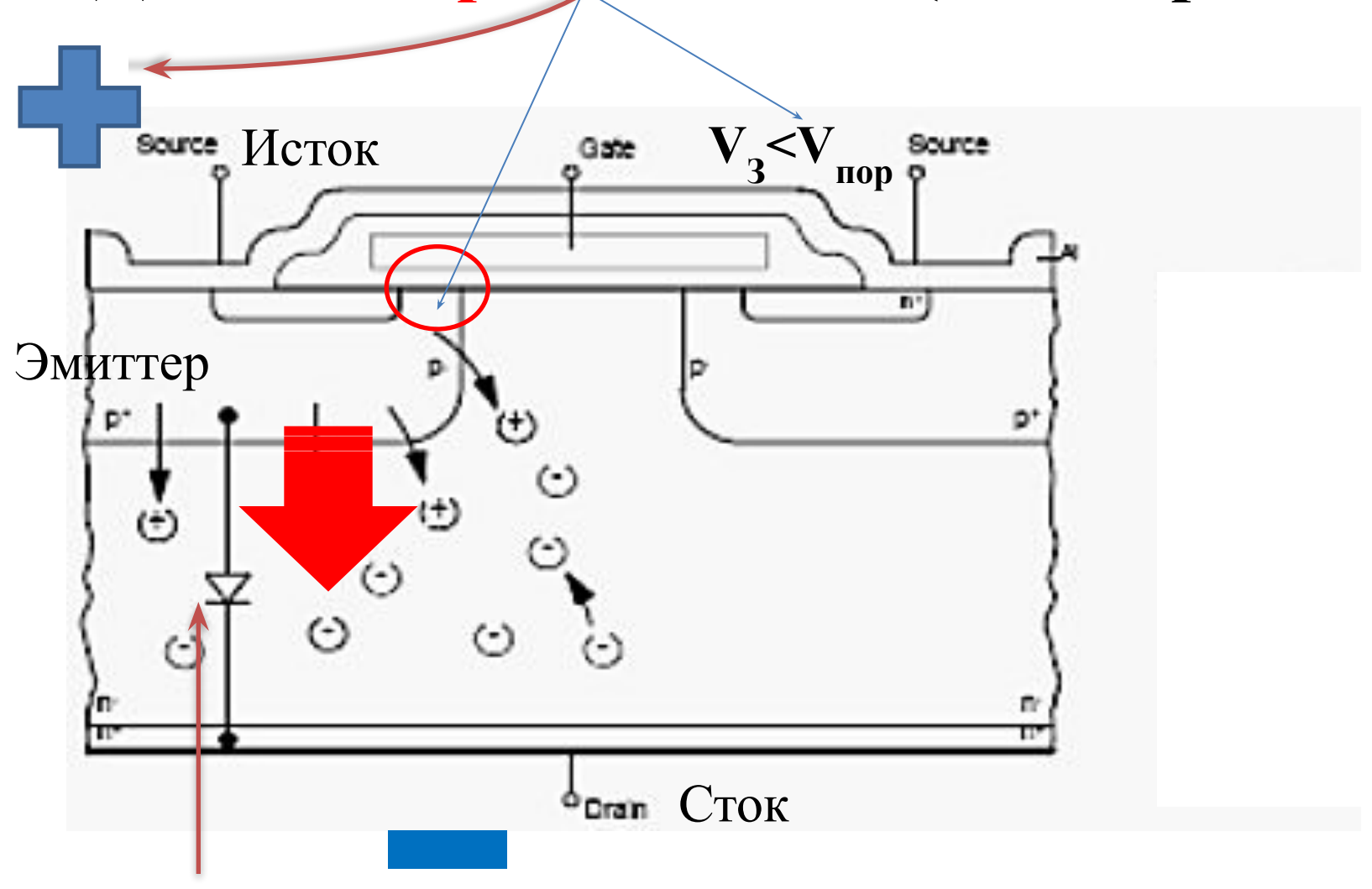
$$\mathbf{V}_{\mathrm{C}\mathrm{I}(\mathrm{B}\mathrm{K}\mathrm{J})} = \mathbf{I}_{\mathrm{C}} \cdot \mathbf{R}_{\mathrm{C}\mathrm{I}(\mathrm{B}\mathrm{K}\mathrm{J})}$$



### Работа при обратном напряжении

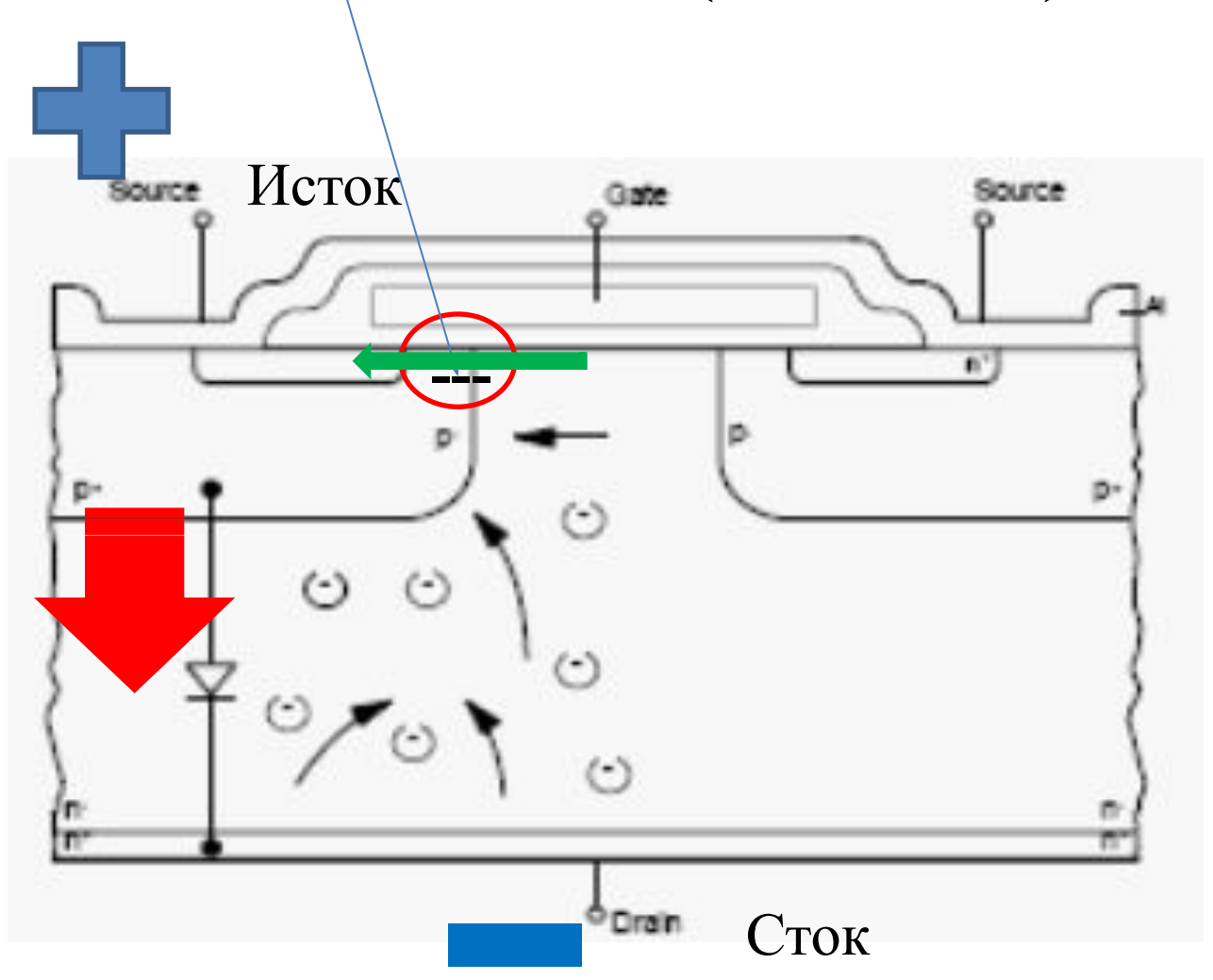
При обратном напряжении (III квадрант) характеристика МДП ПТ эквивалентна диодной при  $V_{3C} < V_{3C(пор)}$ . Это происходит из-за паразитного диода в МДП ПТ

# Работа при обратном напряжении силового МДП ПТ, закрытый канал (биполярный ток)

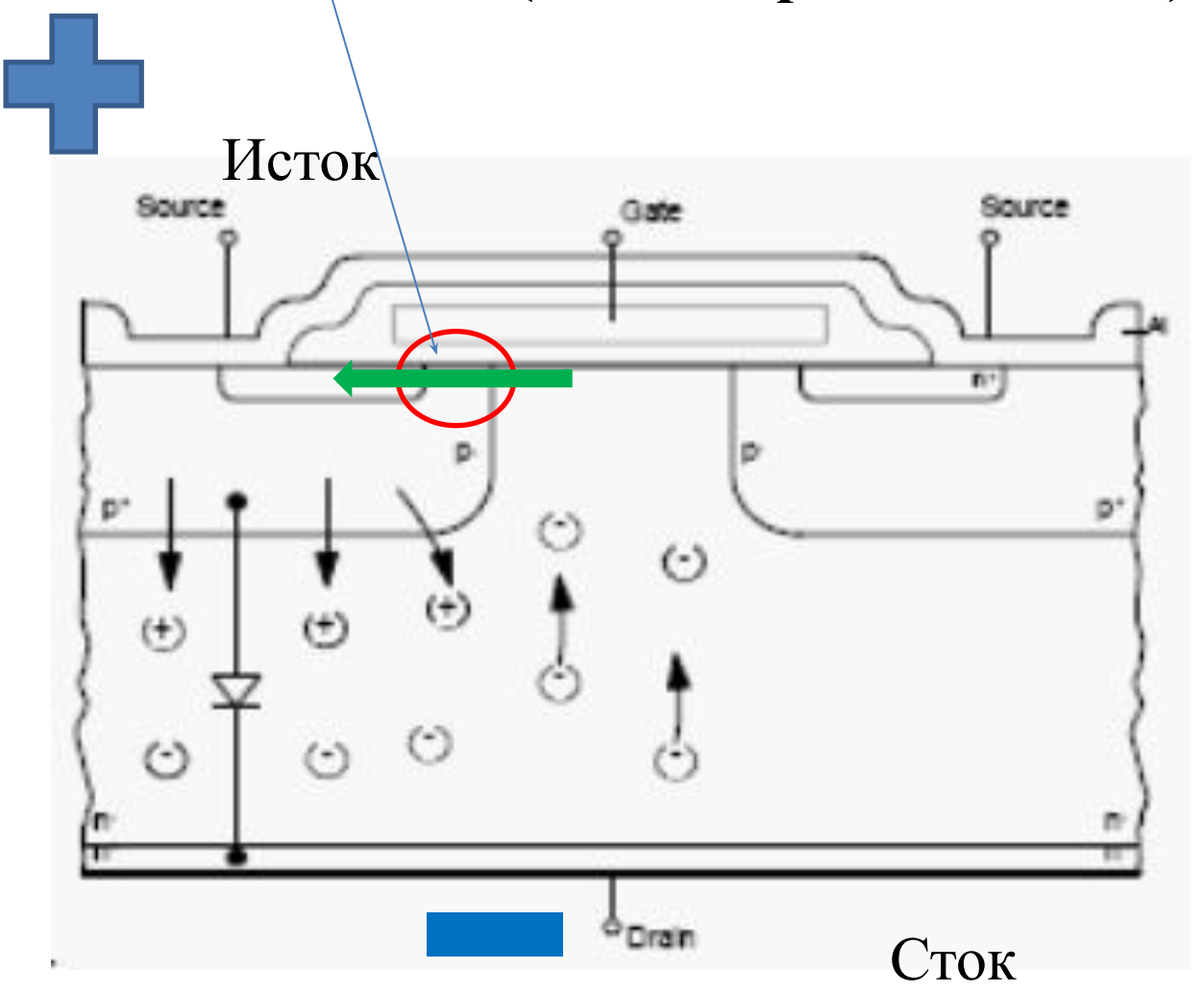


паразитный диод

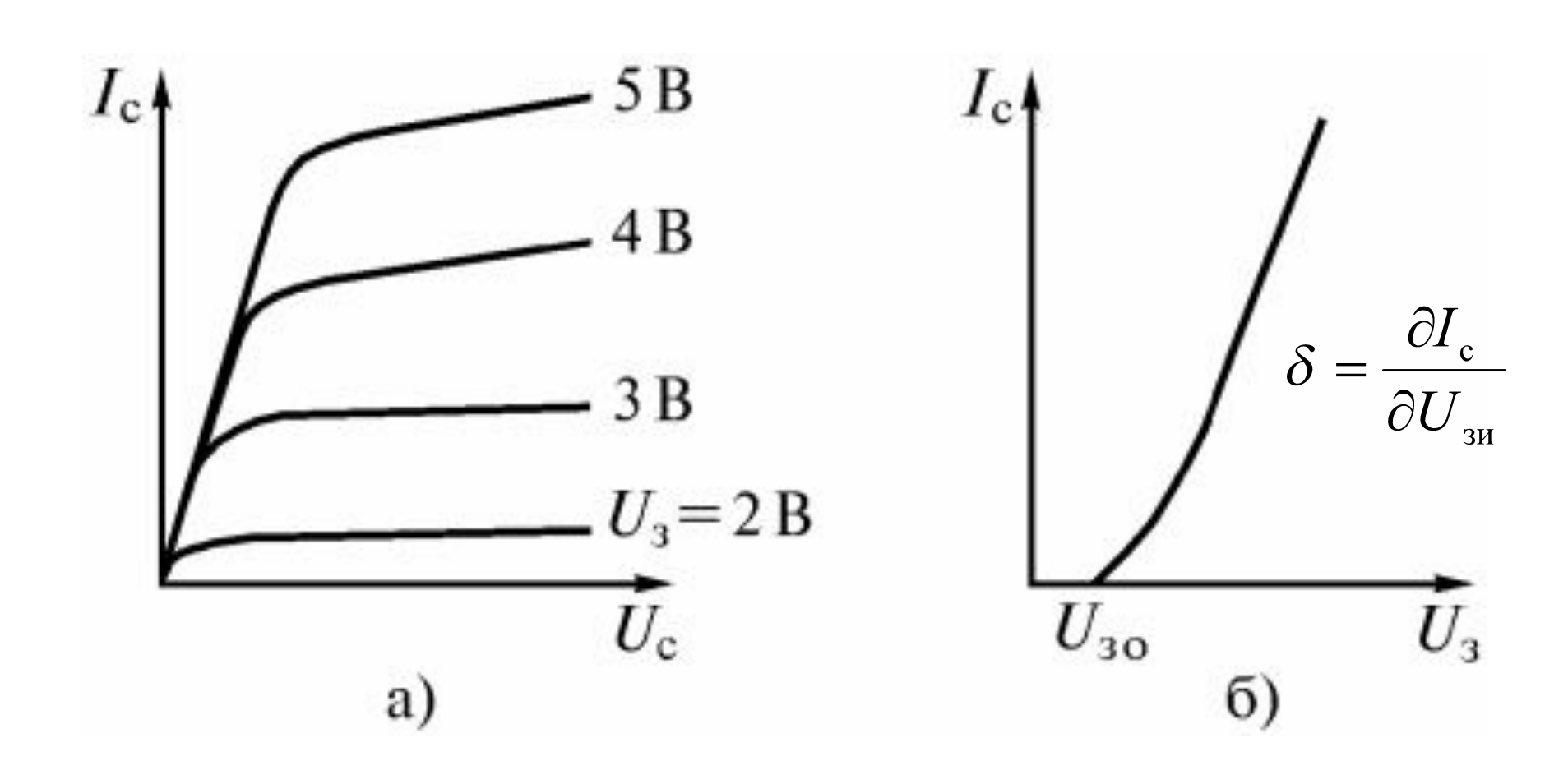
# Работа при обратном напряжении силового МДП ПТ открытый канал и малое отрицательное напряжение $V_{\text{CU}}$ (полевой ток)



# Работа при обратном напряжении силового МДП ПТ, открытый канал и большое отрицательное напряжение $V_{\it CU}$ (комбинированный ток)

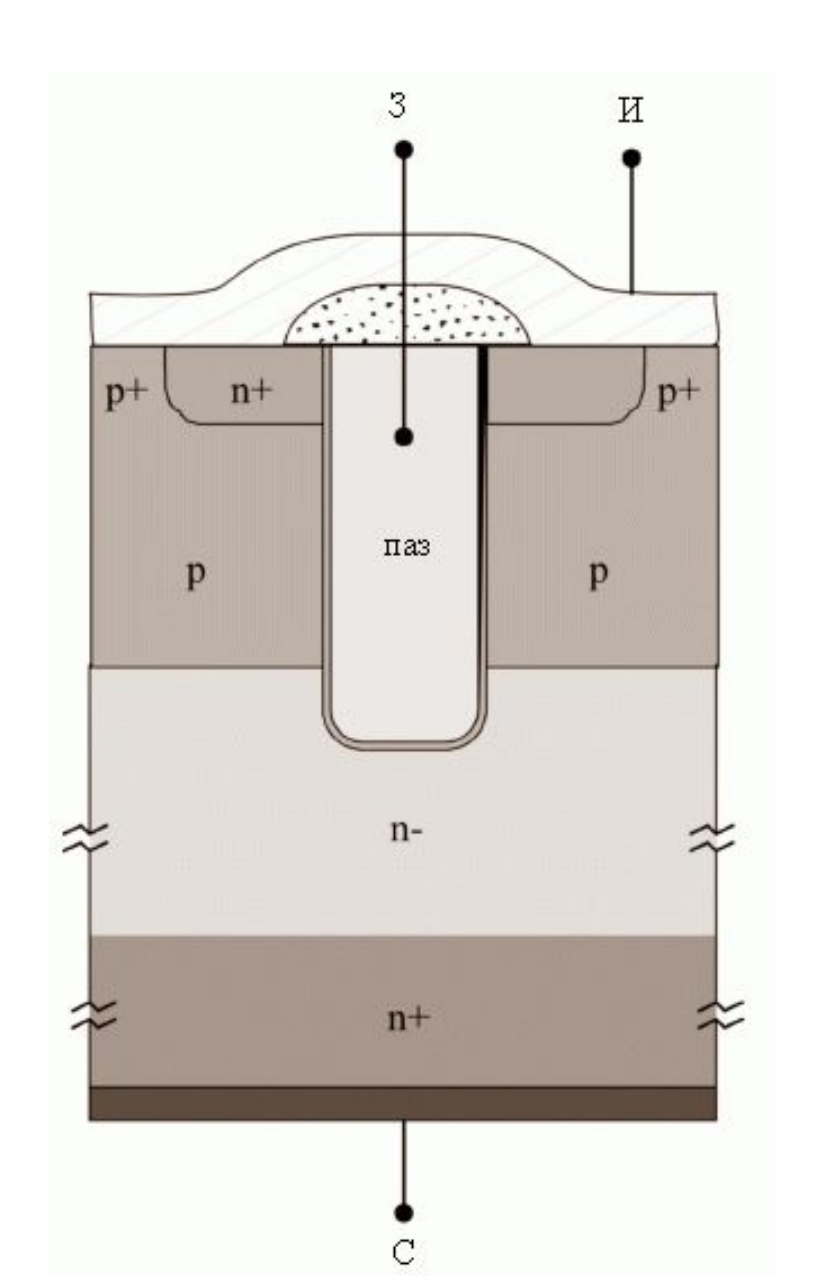


# Выходные (а) и передаточные (б) характеристики ПТИЗ с индуцированным каналом для схемы с ОИ



Чтобы перевести МОП-транзистор в закрытое состояние необходимо  $\downarrow V_{3C}$ , е-ны перестают индуцироваться в канале, путь от истока к стоку (ток от стока к истоку) пропадает. В отличие от БТ при переключении не требуется времени на рассасывание ННЗ, поэтому можно получить время выключения 10...100 нс (надо разрядить входную емкость затвора тр-тора).

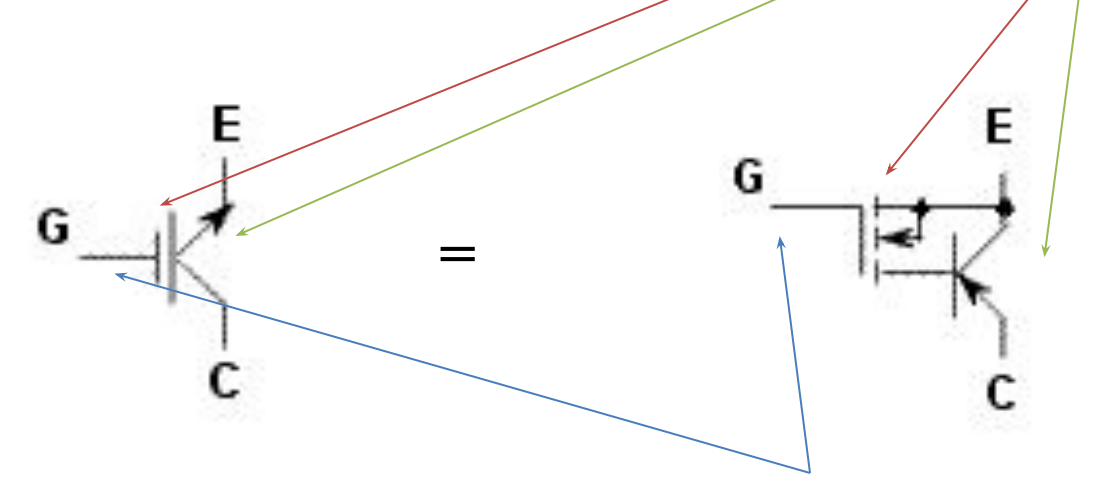
# Структура U-образного МОП-транзистора



# Устройство и особенности работы IGBT

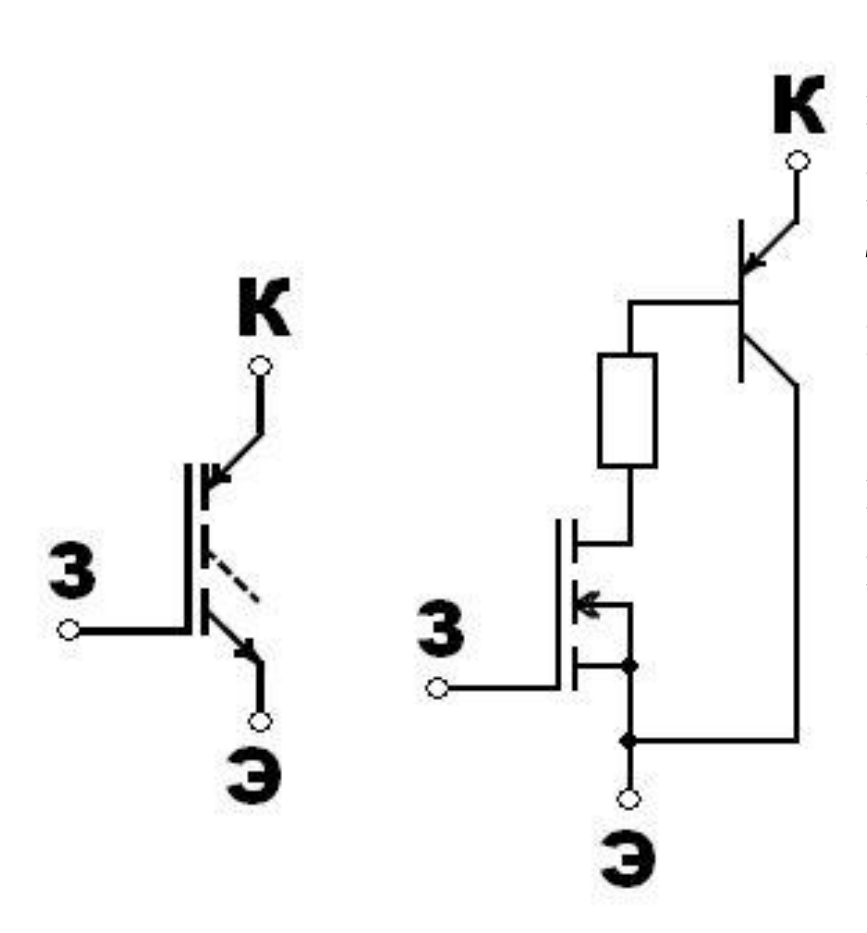
По своей внутренней структуре БТИЗ представляет собой каскадное включение двух электронных ключей: входной ключ на ПТ управляет мощным оконечным ключом на БТ.

### Схематичное изображение внутренней структуры БТИЗ



Управляющий электрод называется затвором, как у ПТ, два других электрода — эмиттером и коллектором, как у БТ. Прибор введён в силовую цепь выводами БТ Е (эмиттер) и С (коллектор), а в цепь управления — выводом G (затвор).

## IGBT –



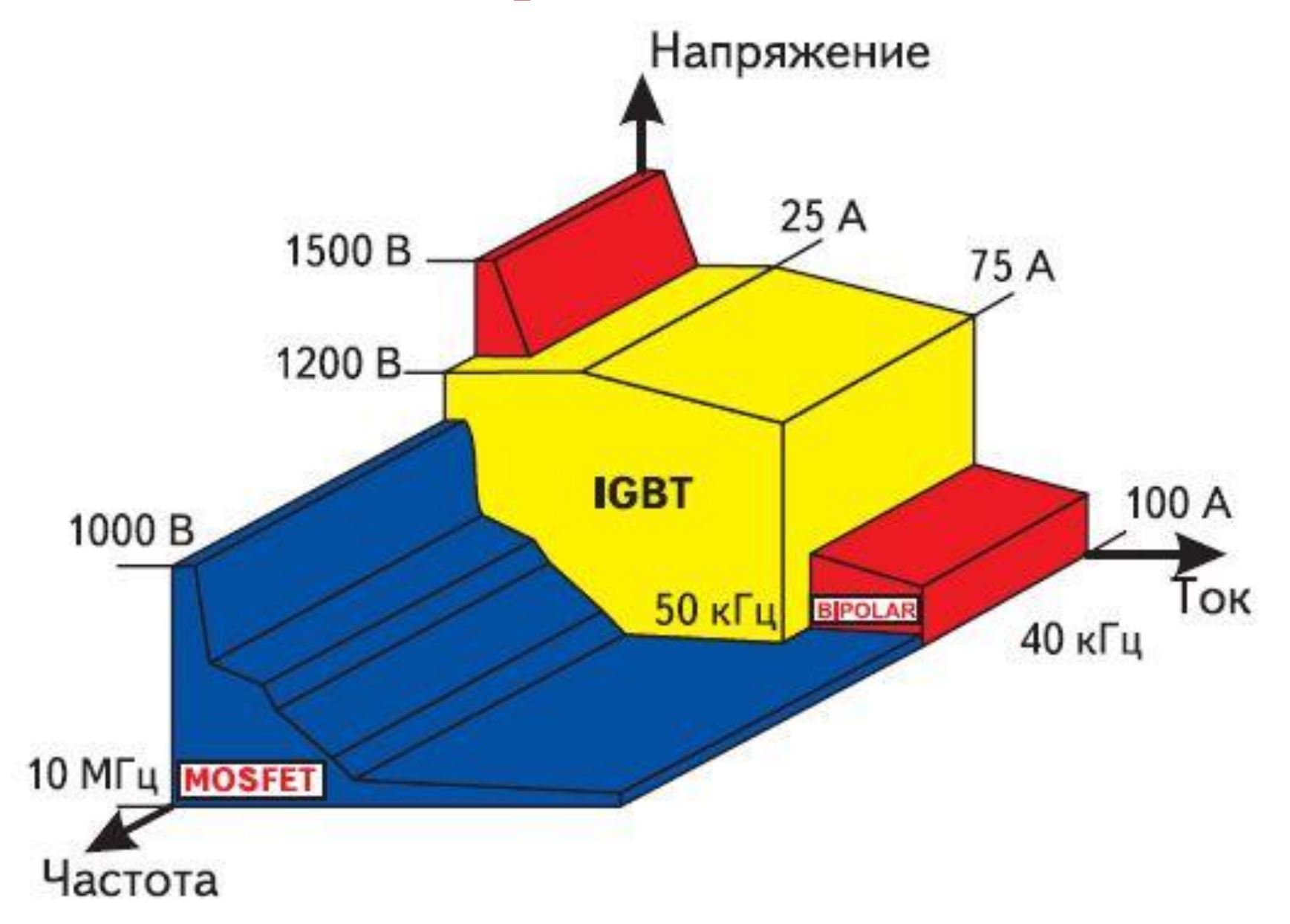
полностью управляемый п/п-ковый прибор, в основе которого трехслойная структура. Его включение и выключение осуществляются подачей и снятием положительного напряжения между затвором и истоком.

Для IGBT с номинальным напряжением в диапазоне 600-4000 В в полностью включённом состоянии прямое падение напряжения, так же как и для БТ, находится в диапазоне 1,5-3,5 В. Это значительно меньше, чем характерное падение напряжения на силовых MOSFET в проводящем состоянии с такими же номинальными напряжениями.

IGBT-приборы являются компромиссным техническим решением, позволившим объединить положительные качества как БТ (малое падение напряжения в открытом состоянии, высокие коммутируемые напряжения), так и MOSFET-транзисторов (малая мощность управления, высокие скорости коммутации).

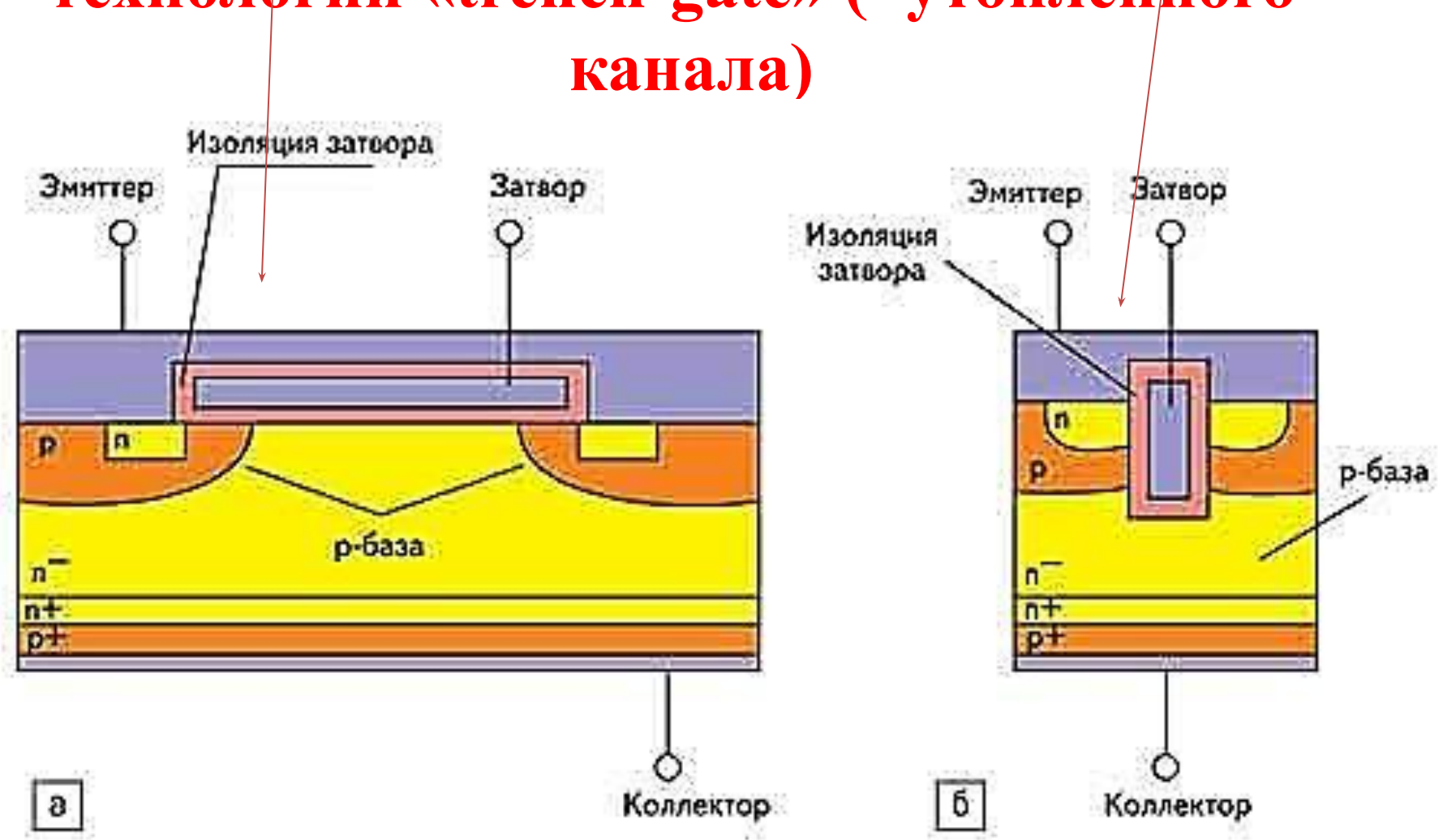
По быстродействию IGBT уступают МДП ПТ, но значительно превосходят БТ. Типичные значения времени рассасывания накопленного заряда и спадания тока при выключении IGBT находятся в диапазонах 0,2-0,4 и 0,2-1,5 мкс, соответственно.

## Область применения IGBT

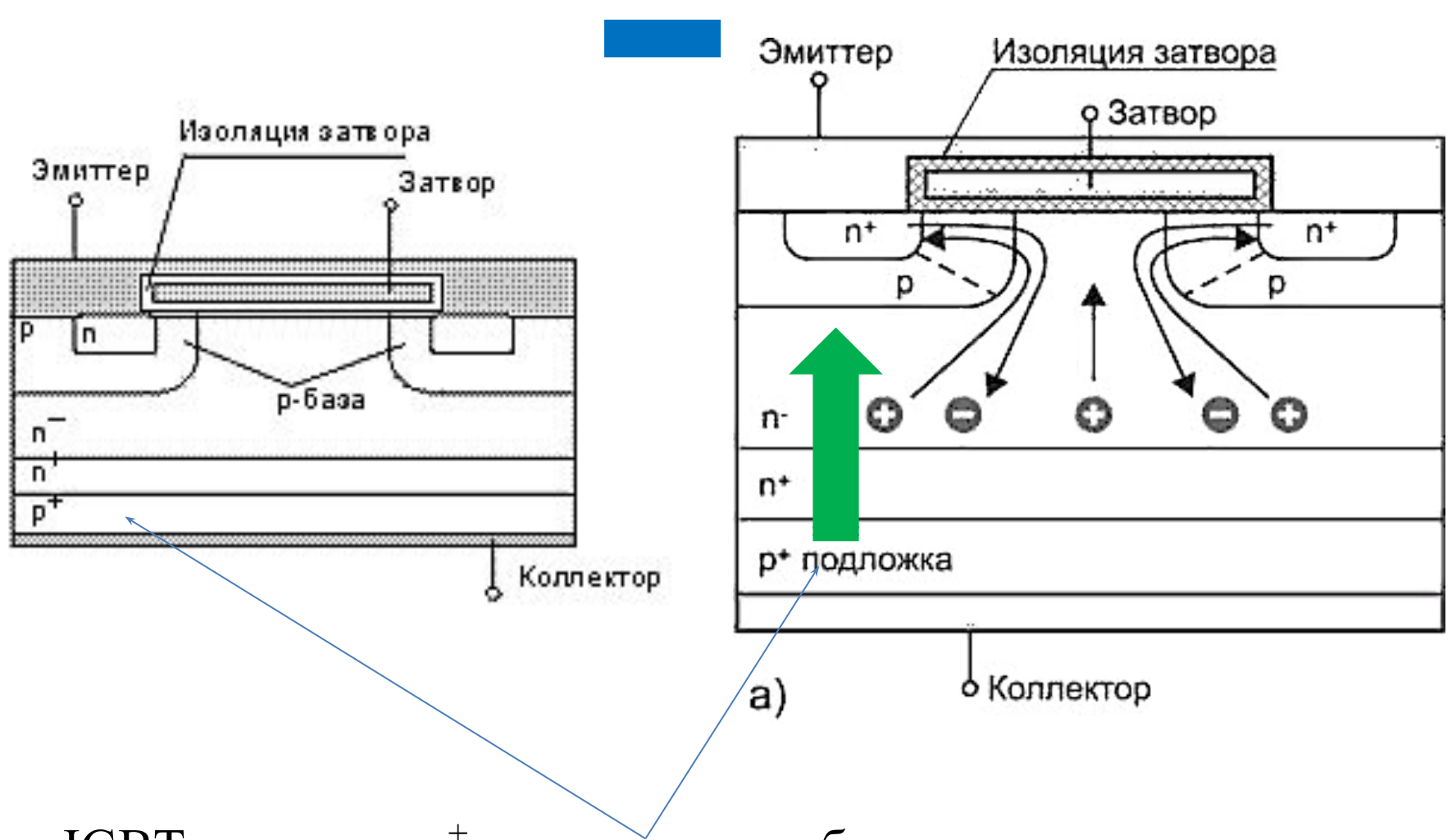


### Структуры IGBT

а) планарного типа; б) изготовленная по технологии «trench-gate» ("утопленного"

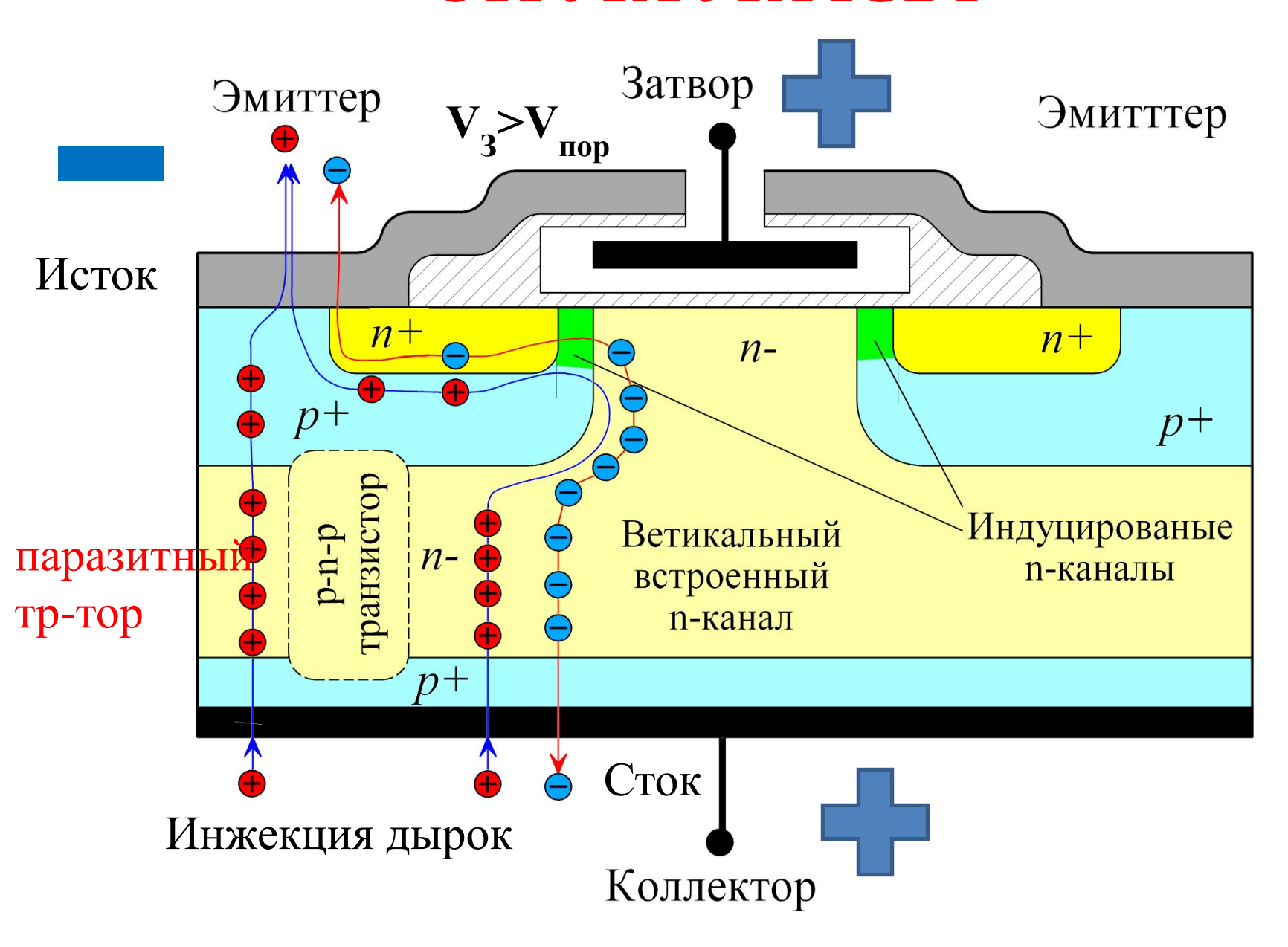


## Структура IGBT планарного типа



IGBT содержит  $p^+$ —проводящую область с соединением к коллектору ниже n—зоны

### СТРУКТУРА IGBT

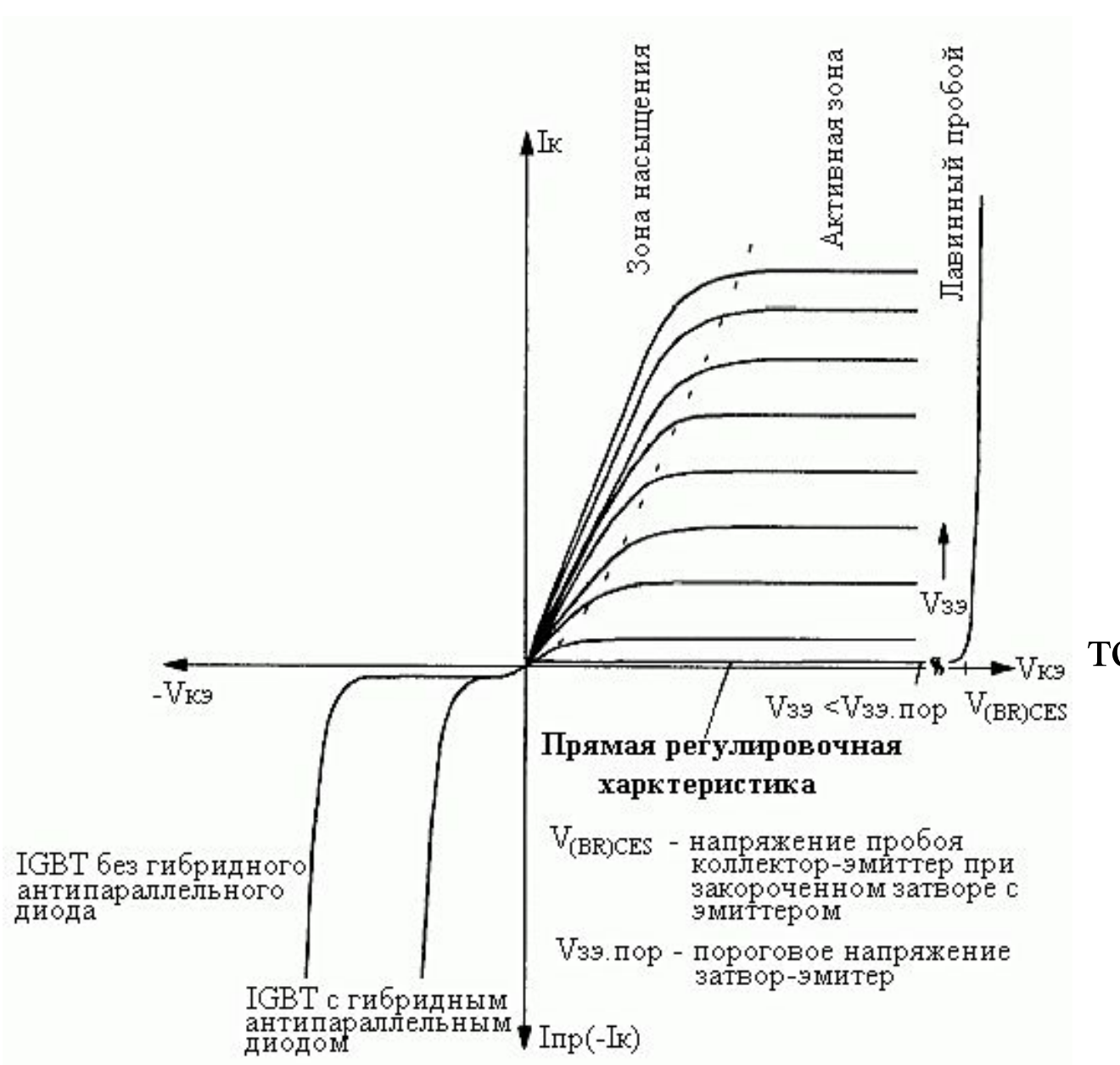


БТ образован слоями  $p^+$  (коллектор),  $n^-$  (база),  $p^+$  (эмиттер); ПТ — слоями  $n^+$  (исток),  $n^-$  и затвором.

Затвор имеет вывод, включаемый в цепь управления.

При подаче на изолированный затвор  $V_3 > V_{\text{пор}}$ , возникает проводящий канал в  $p^+$  – области и МДП тр-тор открывается. Электроны из истока МДП ПТ по каналу поступают в стоковую область МДП ПТ (дрейфовая область). Эта область является  $n^{-}$ —базой p-n-p тр-ра. Поступающие е-ны понижают потенциальный барьер нижнего прямосмещенного КП, что приводит к инжекции дырок из  $p^+$ -коллектора p-n-p тр-тора в область n-базы, обеспечивая открытие БТ p-n-p. Верхний ЭП всегда находится при обратном смещении, поэтому p-n-p тр-тор не попадает в режим насыщения. Между внешними выводами ячейки – К и Э начинает протекать ток. При этом ток стока МДП тр-тора оказывается усиленным в (β+1) раз.

### **BAX IGBT**



ток отсечки

При превышении определенного максимального напряжения K-Э  $V_{(BR)CES}$ , происходит лавинный пробой перехода  $p^+$ -область/ $n^-$ -дрейфовая зона/ $n^+$ -эпитаксиальный слой (напряжение пробоя  $V_{(BR)CES}$ ).

#### Включенное состояние

Для IGBT прямое открытое состояние при  $V_{KE} > 0$  и прямом токе коллектора  $I_K$  также можно разделить на две характерных области **Активный участок** 

При незначительном превышении напряжением затвор-эмиттер  $V_{3E}$  порогового  $V_{3E(пор)}$ , токовое насыщение станет причиной значительного падения напряжения на канале (горизонтальная область на выходной характеристике). Ток коллектора  $I_K$  контролируется при помощи  $V_{3E}$ .

Крутизна характеристики прямой передачи g:

 $\mathbf{g} = \mathbf{dI_K}/\mathbf{dV_{3E}} = \mathbf{I_K}/(\mathbf{V_{3E}} - \mathbf{V_{3E(пор)}})$ . Значение крутизны для IGBT является более высоким в сравнении с биполярными и МДП транзисторами.

#### Область насыщения

(крутой подъем кривой выходной характеристики), также называемая открытым состоянием при переключении. Характер изменения кривой во включенном состоянии можно характеризовать напряжением IGBT  $V_{K9(\text{нас})}$  (напряжение насыщения коллектор-эмиттер). Для хорошо запираемых IGBT напряжение насыщения намного меньше, чем напряжение, требуемое для включения такого же МДП ПТ, благодаря тому, что  $n^-$  дрейфовая зона заполняется ННЗ.

### Работа при обратном напряжении

При обратном напряжении (III квадрант), коллекторный pn-переход IGBT смещен в обратном направлении и закрыт, в противоположность МДП ПТ. Также, благодаря большой  $n^-$  дрейфовой зоне, обратное напряжение для современных IGBT всего около 10 В.

- Дальнейшее развитие IGBT связано с требованиями рынка и будет идти по пути:
- •↑ диапазона предельных коммутируемых токов и напряжений (единицы килоампер, 5-7 кВ);
- ↑ быстродействия;
- •↑ стойкости к перегрузкам и аварийным режимам;
- прямого падения напряжения;
- •разработка новых структур с плотностями токов, приближающихся к тиристорным;
- •развития "интеллектуальных" IGBT (с встроенными функциями диагностики и защит) и модулей на их основе;
- •создания новых высоконадёжных корпусов, в том числе с использованием ММС (AlSiC) и прижимной конструкции;
- •повышения частоты и снижение потерь SiC быстровосстанавливающихся обратных диодов;
- •применения прямого водяного охлаждения для исключения соединения основание охладитель.

